



## تأثیر دگرسانی بر کانی شناسی و زمین‌شیمی سنگ‌های آذرین منطقه قیزیلیق - شمال سراب (شمال غرب ایران)

رقیه فتحی<sup>۱</sup>، محسن موید<sup>۱\*</sup>، نصیر عامل<sup>۱</sup>، محمد فدائیان<sup>۲</sup>، امین‌الله کمالی<sup>۳</sup>

۱- گروه علوم زمین، دانشکده علوم طبیعی، دانشگاه تبریز، تبریز، ایران

۲- دانشگاه پیام نور، تهران، ایران.

۳- گروه باستان‌سنگی و علوم طبیعی، پژوهشکده حفاظت و مرمت آثار تاریخی-فرهنگی، پژوهشکاه میراث فرهنگی و گردشگری، تهران، ایران  
(دریافت مقاله: ۱۴۰۲/۶/۴، نسخه نهایی: ۱۴۰۲/۸/۲۸)

چکیده: منطقه مورد بررسی در شمال‌غرب ایران، استان آذربایجان‌شرقی و حدود ۳۰ کیلومتری شمال شهرستان سراب قرار دارد. این منطقه بخشی از پهنه ساختاری البرز است. براساس بررسی‌های سنگ‌نگاری و صحراپی، سنگ‌شناسی منطقه شامل توده نفوذی کوارتز‌مونزونیت پورفیری، توده گرانوودیوریت پورفیری، دایک‌های برآمده از توده گرانوودیوریت پورفیری و بازالت‌ها است. کانی‌شناسی شامل پلاژیوکلاز، کوارتر، فلدسپارپاتاسیم، کلینوپیروکسن، بیوتیت و آمفیبول است و کانی‌های دگرسانی در سنگ‌های مورد بررسی سریسیت، کلریت، کائولینیت و اکسیدهای آهن بوده و اغلب دارای بافت‌های پورفیری، گلومرپورفیری و خال خال هستند. مهمترین دگرسانی‌های موجود شامل پهنه‌های فیلیک، آرژیلیک و پروپیلیتیک هستند. کانی‌های سولفیدی دیده شده در منطقه بیشتر پیریت، کالکوپیریت، اسفالریت و مولیبدنیت هستند که در برخی مقاطع، به اکسیدهای هیدروواکسیدهای آهن (هماتیت) تبدیل شده‌اند. بافت کانه‌زایی اغلب دانه پراکنده (افشان) و رگچه‌ای است. بررسی تغییرات عناصر خاکی نادر و عناصر کمیاب توده‌های پورفیری نشانگر ناهنجاری‌های مثبت از عناصر U, Li, Pb, Th, Zr, Ti, Nb و ناهنجاری منفی از عناصر Eu/Eu<sup>\*</sup> در نمونه‌های دگرسان شده کمتر نادر سبک نسبت به عناصر خاکی نادر سنگین (LREE/HREE) به چشم می‌خورد. نسبت Ce/Ce<sup>\*</sup> برای نمونه سالم بوده و نسبت Gd/Yb(N) (La/Sm)N در نمونه‌های دگرسان شده بیشتر از نمونه سالم است. افزون بر این، عوامل افزایشی را نشان می‌دهند و عناصر خاکی نادر سنگین طی فرایند دگرسانی در منطقه با افزایش و کاهش همراه بوده‌اند. غنی‌شدگی عنصر U و Th به احتمال بسیار ناشی از شرایط اسیدی و جذب سطحی توسط کانی‌های رسی و نیز حضور در شبکه کانی زیرکن است. عناصری با شدت میدان بالا در بیشتر نمونه‌های دگرسان شده نسبت به سنگ خاستگاه غنی‌شدگی نشان می‌دهند و تنها در عنصر Hf تهی‌شدگی دارند.

واژه‌های کلیدی: قیزیلیق؛ دگرسانی گرمابی؛ فیلیک؛ آرژیلیک؛ پروپیلیتیک؛ سراب؛ شمال‌غرب ایران..

### مقدمه

خاستگاه کانسارها دارند [۲]. در بررسی‌های زمین‌شیمی‌ای، پراکنده‌گی عناصر در واحدهای سنگی مختلف و پهنه کانه‌دار، ارتباط و همبستگی عناصر به منظور درک رفتار زمین‌شیمی‌ای عناصر در کانی‌های اصلی و فرعی با هم مد نظر است. بر پایه

علم زمین‌شیمی با توزیع و مهاجرت عناصر شیمی‌ای درون زمین در دو بعد زمان و مکان سروکار دارد [۱]. بررسی‌های زمین‌شیمی‌ای جایگاه ویژه‌ای در بی‌جوبی و شناسایی

زیر واحدهای توف برشی، توف آندزیت دگرسان شده و توف سنگی برشی شده قرار دارد و دارای مرز گسله با واحدهای (تراکی آندزیت دگرسان شده، لاتیت مگاپورفیری، توف، برش، توف ماسه‌ای و آندزیت بازالت) است (شکل ۲ ب). توده‌ی کوارتزمونزونیت پورفیری در بخش مرکزی و جنوبی ورقه رخنمون یافته است و به احتمال بسیار ادامه‌ی آن از سمت جنوب از منطقه‌ی مورد بررسی خارج می‌شود. این توده به درون واحدهای ائوسن (توف، آندزیت بازالتی، تراکی آندزیت، آندزیت، توف برشی شده و لاتیت) تزریق شده و مرز آن از سمت غرب با واحد توف، آندزیت بازالت، تراکی آندزیت و لاتیت گسله است. این توده دستخوش دگرسانی شدید فیلیک شده و خود با دایک‌هایی با روند NW-SE و ترکیب گرانوودیوریتی تا میکروودیوریتی قطع شده است، همچنین استوک کوچکی از توده‌ی گرانوودیوریتی از سمت شمال با این توده برخورد گرمایی داشته و به درون آن تزریق شده است (شکل ۲ الف). توده‌ی گرانوودیوریت در بخش مرکزی و مایل به بخش جنوبی ورقه به درون توده‌ی کوارتزمونزونیت پورفیری تزریق شده و خود دارای همیری گرمایی با واحد توف، تراکی آندزیت و آندزیت بازالت است. دایک‌هایی از این استوک به درون توده‌ی پورفیری و سنگ‌های آتشفسانی و آتشفسانی اواری ائوسن تزریق شده‌اند (شکل ۲ پ و ت). کانی‌سازی نوع مس-مولیبدن پورفیری قزیلیق در شمال سراب برای نخستین بار از این منطقه گزارش شده [۵] و در غرب این توده، توده مس پورفیری سوناجیل برای نخستین بار توسط حسین زاده و همکاران [۶] گزارش شده است. میزبان اصلی کانی‌سازی مس و مولیبدن نوع پورفیری در منطقه سوناجیل توده میکروودیوریت است. بیشتر کانسارتیزی به صورت افسان و رگه-رگه‌ای است [۷]. همچنین توده اینچه با ترکیب دیوریت و سینوودیوریت به درون واحدهای سنگی قدیمی‌تر از جمله استوک نیمه آتشفسانی سوناجیل (ائوسن پسین الیگوسن پیشین) نفوذ کرده است [۹،۸]. تاکنون پژوهش اصولی پیرامون این توده انجام نشده است؛ از این رو در این پژوهش، سنگ‌شناسی، کانی‌شناسی، کانی‌سازی و زمین‌شیمی پهنه‌های دگرسانی توده نفوذی قیزیلیق به تفصیل بررسی شده است.

این عناصر و اطلاعات می‌توان تا حدی به محیط، شرایط و فرایند تشکیل کانسار پی برد. پراکندگی و تمرکز عناصر و ایزوتوپ‌های آنها و نسبت تفکیک هر یک در زمان تابع شرایط ویژه محیط از جمله Eh، pH، دما، فشار ایستابی و لیتواستاتیک و تمایل ویژگی‌های هر عنصر، مجموعه‌های عنصری هستند. در این پژوهش، براساس روابط صحرایی واحدهای سنگی، نتایج آزمایشگاهی و نیز اطلاعات بدست آمده از موارد مشابه، مواردی چون زمین‌شناسی منطقه، رده‌بندی پهنه‌های دگرسانی موجود، زمین‌شیمی و رفتار عناصر اصلی، فرعی و کمیاب (تهی شدگی، غنی شدگی، تحرک یا عدم تحرک) و شرایط فیزیکوشیمیایی طی مراحل دگرسانی در منطقه قیزیلیق بر پایه داده‌های زمین‌شیمیایی به تفصیل بررسی شده‌اند. موضوع اساسی در این پژوهش، بررسی تغییرات زمین‌شیمیایی در سنگ‌های مورد بحث در پهنه‌های دگرسانی مختلف منطقه بوده است.

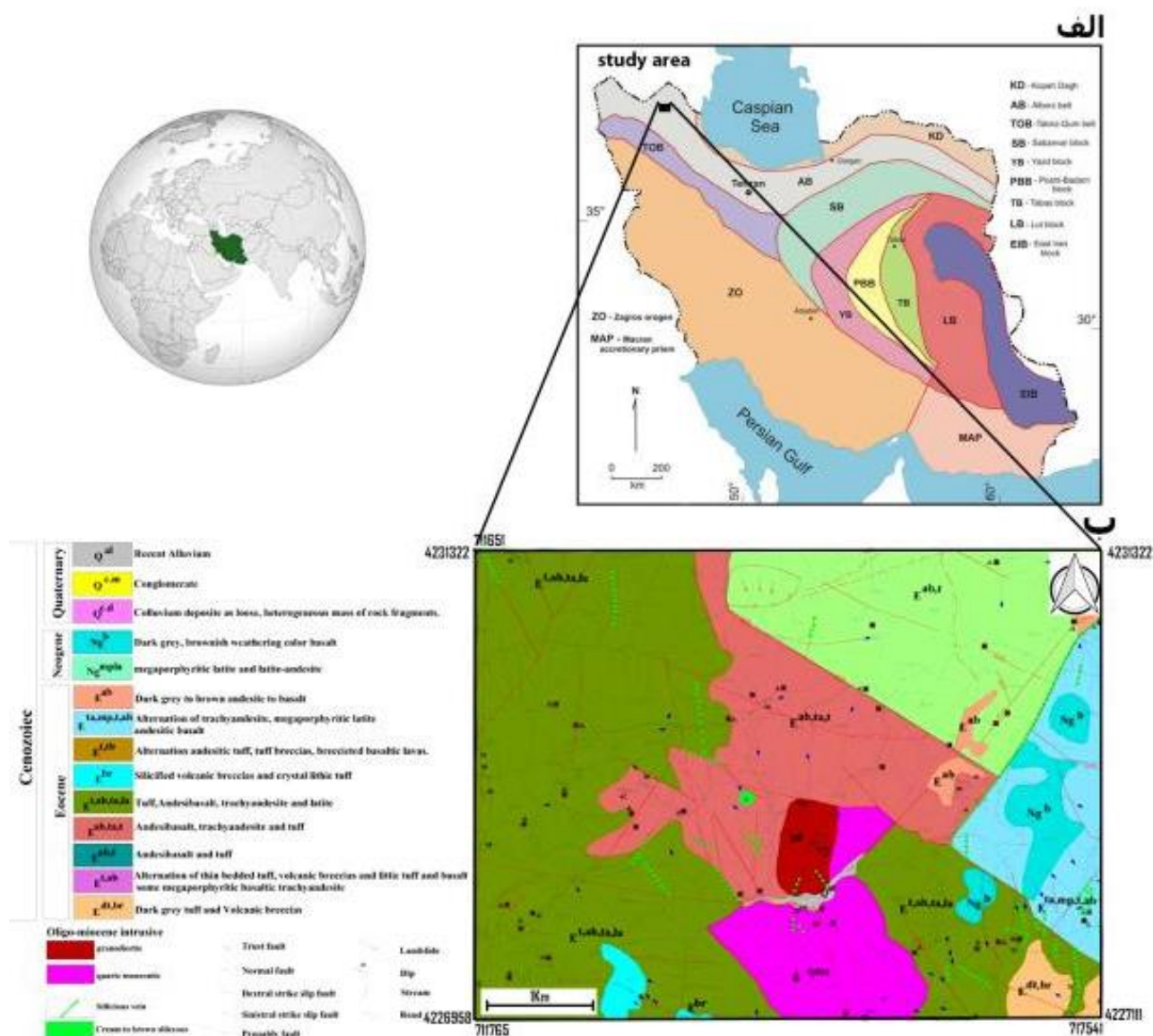
### زمین‌شناسی عمومی

منطقه پی‌جویی قیزیلیق در استان آذربایجان‌شرقی و شمال شهرستان سراب واقع است. همچنین بر اساس تقسیم‌بندی پهنه‌های ساختاری ایران، منطقه مورد بررسی در پهنه البرز قرار دارد [۳]. رخنمون‌های عمدۀ این منطقه شامل نهشته‌های آتشفسانی و آذرآواری ائوسن هستند که با توده‌های نفوذی کوارتزمونزونیت و گرانوودیوریت قطع شده‌اند و دگرسانی گرمایی گستره‌ای در سنگ‌های درونگیر ایجاد شده است [۴]. فعالیت‌های آذرین و به ویژه آتشفسانی در این منطقه پایان نیافته و در نتوئن با فعالیت‌های آتشفسانی و ترکیب لاتیتی تا بازالتی ادامه داشته است (شکل ۱). واحد توفی شامل توف‌های بلوری با ترکیب آندزیتی و بافت بلورآواری است و برش‌های آتشفسانی در بردارنده قطعه‌های زاویه‌داری از گدازه‌های بازالتی تا آندزیتی در خمیره‌ی گدازه‌ای هستند و بافت آنها برشی است. این مجموعه در معرض توده نفوذی کوارتزمونزونیت پورفیری (شکل ۲ الف)، چهار دگرسانی گرمایی شده و دگرسانی‌های پروپلیتیک-آرژیلیک در آنها گسترش یافته است. واحد گدازه‌ای آندزیت بازالتی، تراکی آندزیت تا لاتیت و توف بیشتر غرب و جنوب‌غرب منطقه را می‌پوشاند و اغلب سنگ میزبان توده کوارتزمونزونیت پورفیری منطقه است که در

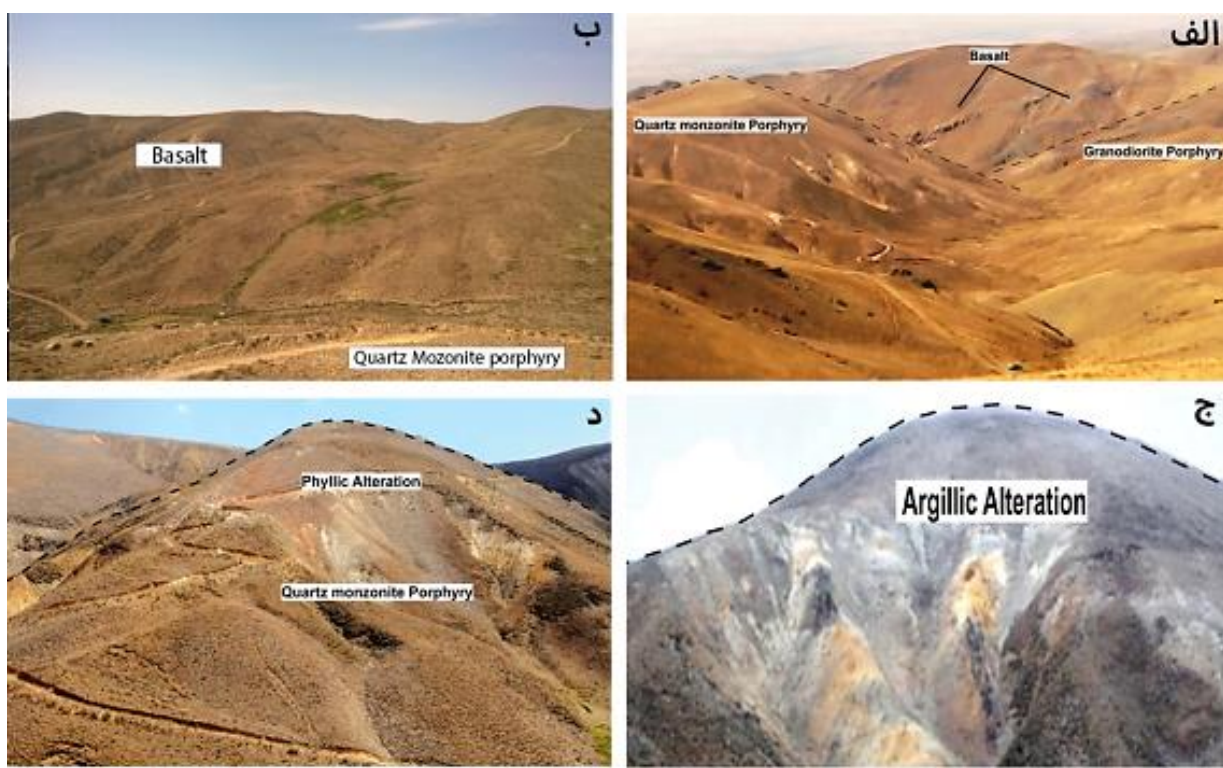
عناصر اصلی و فرعی به روش طیف‌سنجی فلئورسانس پرتوی ایکس (XRF) و تعیین عناصر کمیاب به روش طیف‌سنجی (ICP-OES) نشر نوری پلاسمای جفت شده القایی (ICP-OES) به آزمایشگاه مرکز تحقیقات و فرآوری مواد معدنی ایران در کرج ارسال گردیدند. نتایج تجزیه‌های زمین‌شیمیایی عناصر اصلی، فرعی و کمیاب با نرم‌افزارهای مختلف تحلیل آماری-زمین‌شناسی شدند که در ادامه بخشی از این نتایج آمده است.

### روش‌ها

پس از برداشت نمونه‌ها از رخمنونهای سنگی در بررسی‌های صحرایی، مقاطع نازک در کارگاه سنگ‌بری دانشگاه تبریز تهیه شدند. بررسی‌های سنگ‌نگاری با میکروسکوپ قطبشی در دانشگاه تبریز برای ۱۸ نمونه از توده‌های نفوذی سالم و دگرسان شده انجام شد. ۱۲ عدد از نمونه‌های برداشت شده با آسیاب فکی با هسته فولادی پودر شده و برای تعیین مقدار



شکل ۱ الف- نقشه ساختاری ایران و موقعیت منطقه مورد بررسی در آن [۳]؛ ب- نقشه زمین‌شناسی منطقه مورد بررسی [۴].



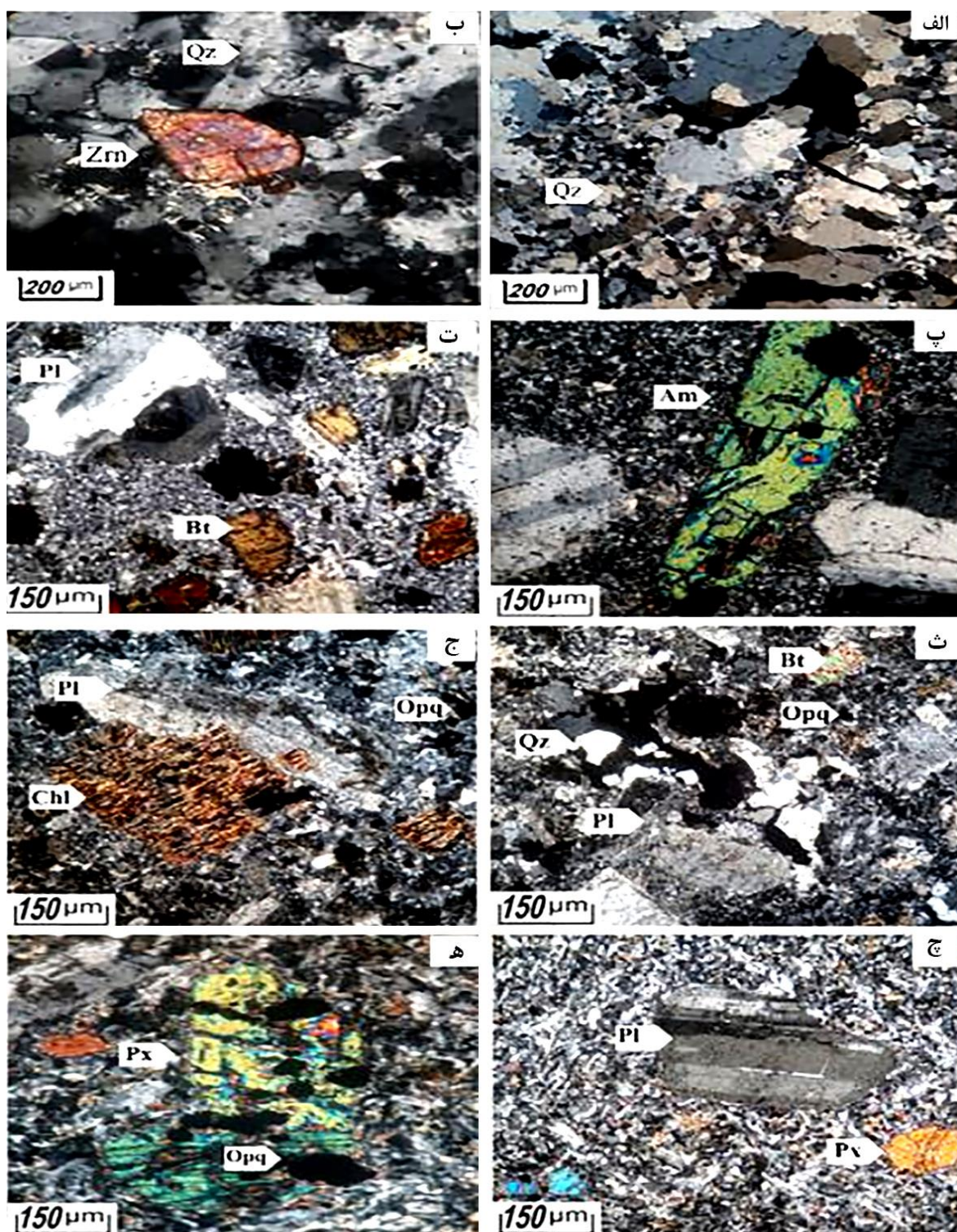
شکل ۲-الف-کوارتزمونزونیت سمت چپ و گرانودیوریت‌ها سمت راست منطقه مورد بررسی را تشکیل می‌دهند؛ ب- موقعیت گدازه‌های بازالتی و توده کوارتزمونزونیت پورفیری؛ پ- نمایی از دگرسانی آرژیلیک در منطقه مورد بررسی؛ ت- نمایی از دگرسانی فیلیک در منطقه مورد بررسی که در ته دره رسیده به توده نفوذی قابل دیده است.

دیده می‌شود. آپاتیت کانی فرعی بوده و بصورت کانی‌های سوزنی شکل است و بصورت میانبار درون بیوتیت‌ها دیده می‌شود. کانی ثانویه سریسیت است که از دگرسانی پلاژیوکلازها و فلدسپارها شکل گرفته است. بافت غالب، بافت پورفیریک با خمیره ریز بلور دربردارنده کوارتز، فلدسپارپتاسیم و پلاژیوکلاز است. در برخی قسمت‌ها، بافت دانه‌ای نیز دیده می‌شود که شامل دانه‌های هم اندازه است. توده پورفیری دچار دگرسانی شدیدی از نوع فیلیک ضعیف تا شدید شده است (شکل‌های ۳ الف و ب).

گرانودیوریت پورفیری: گرانودیوریت پورفیری به دو شکل توده‌ای و دایک دیده می‌شود. دایک‌ها با روند NW-SE به درون توده کوارتزمونزونیت پورفیری تزریق شده‌اند. این سنگ‌ها در نمونه دستی به صورت بلورین قابل تشخیص بوده و دارای ضربی رنگینی در حد روشن با ساخت توده‌ای هستند. پلاژیوکلاز کانی اصلی است که ۵۵-۶۰ درصد مقاطع را تشکیل داده و اغلب به صورت درشت بلورهای شکل‌دار تا نیمه شکل‌دار دیده می‌شود. پلاژیوکلازها دارای ماکل چندریخت، منطقه‌بندی ترکیبی و گاهی ماکل صلبی هستند.

### سنگنگاری

کوارتزمونزونیت پورفیری: این سنگ‌ها در نمونه دستی متوسط دانه؛ بلورین و دارای ساخت توده‌ای هستند. برخی نمونه‌ها دگرسانی بسیار شدیدی از نوع دگرسانی فیلیک را نشان می‌دهند. در نمونه‌های میکروسکوپی، پلاژیوکلاز (۵۵-۶۰ درصد) بصورت درشت بلورهای نیمه شکلدار تا بی‌شکل متوسط تا درشت (۵ میلیمتر) در خمیره ریزبلور سنگ پراکنده است. پلاژیوکلازها اغلب ماکل چندریخت دارند. در برخی مقاطع، این کانی‌ها در اثر دگرسانی به طور کامل سریسیتی شده‌اند. فلدسپارپتاسیم (۳۰-۲۵ درصد) بصورت بلورهای ریز و نیمه شکلدار در خمیره سنگ قرار دارد که در بیشتر مقاطع سریسیتی شده است. کوارتز (۱۰-۱۵ درصد) بصورت دانه‌های درشت و ریز در خمیره سنگ وجود دارد و گاهی خاموشی موجی نشان می‌دهد. بیوتیت (۵-۱۰ درصد) بصورت درشت بلورهای شکلدار و به رنگ قهوه‌ای تیره بوده و گاهی در برگیرنده زیرکن و آپاتیت است. بیوتیت‌ها در اثر فرایند دگرسانی تبدیل به کانی‌های تیره شده‌اند. زیرکن عنوان کانی فرعی با بر جستگی بالا و بصورت میانبارهایی درون بیوتیت



شکل ۳. الف- کوارتز مونزونیت که کوارتزهای ریز زمینه با رگچه‌ای سیلیسی قطع شده اند. ب- کوارتز مونزونیت پورفیری به همراه زیرکن و کوارتز، پ- گرانودیبوریت پورفیری به همراه آمفیبول و کانی‌های کدر، ت- گرانودیبوریت پورفیری با درشت بلورهای پلاژیوکلازها به همراه میکاهای درشت در خمیره ریز بلور، ث- مونزونیت با میکاهای از نوع بیوتیت بهمراه پلاژیوکلازهای تقریباً سریستی شده، ج- مونزودیبوریت به همراه بلورهای بیوتیت که به کلریت دگرسان شده‌اند. چ- میکرودیبوریت، پلاژیوکلاز دارای ماکل کارلسbad بهمراه پیروکسن در زمینه‌ای از بافت پورفیری و ریزسنگ‌های پلاژیوکلاز، ح- میکرودیبوریت، پیروکسن‌های دگرسان شده به اورالیت و کانی‌های کدر.

آمفیبیول، زیرکن و کانی‌های تیره و همچنین از کانی‌های ثانویه به سریسیت و کلریت اشاره نمود. کانی‌های اصلی شامل پلازیوکلاز (۶۵-۶۰٪) به صورت درشت بلورهای شکل‌دار و دارای ماکل چندریخت و منطقه‌بندی ترکیبی هستند. پلازیوکلازها در برخی قسمت‌ها سریسیتی شده‌اند. فلدسپارهای پتاسیم ۱۵-۲۰ درصد سنگ و اغلب خمیره سنگ را تشکیل می‌دهند. در برخی مقاطع، درشت بلورهای ارتوز بصورت ماکل دوقلو دیده می‌شوند. آمفیبیول ۱۰-۵ درصد این مقاطع را تشکیل می‌دهد. آمفیبیول‌ها بصورت درشت بلور و بلورهای شکلدار تا نیمه شکلدار و در اندازه تقریبی ۱ تا ۲ میلیمتر دیده می‌شوند و در بیشتر مقاطع به کلریت دگرسان شده‌اند. کانی فرعی کوارتز کمتر از ۵٪ این مقاطع را تشکیل داده و بصورت بلورهای بی‌شکل و ریز با خاموشی موجی در متن سنگ دیده می‌شود. کانی بیوتیت ۵-۱٪ سنگ را تشکیل می‌دهد و بیشتر به کلریت و کانی‌های تیره دگرسان شده است. زیرکن از جمله کانی‌های فرعی بوده که به مقدار بسیار کم و بصورت بلورهای کوچک با برجستگی بالا قابل شناسایی است. کانی‌های ثانویه شامل سریسیت و کلریت هستند. سریسیت از دگرسانی پلازیوکلازها و کلریت از دگرسانی بیوتیت و بیشتر آمفیبیول شکل گرفته‌اند. در مقاطع نازک این سنگها، بافت پورفیری با خمیره ریز بلور دیده می‌شود (شکل‌های ۳-ج).

میکرودیوریت: این سنگ‌ها در نمونه دستی به صورت خاکستری تیره قابل تشخیص بوده و دارای شاخص رنگ در حد نیمه روشن هستند و بصورت دایک به درون کوارتزمنزونزونیت پورفیری تزریق شده‌اند. در مقاطع نازک این سنگ‌ها، بافت ریزسنگی پورفیریک دیده می‌شود. کانی‌های اصلی سنگ را بیشتر پلازیوکلاز، فلدسپار پتاسیم، ریز بلورهای ریزسنگی و جریانی پلازیوکلاز تشکیل می‌دهند، از جمله کانی-های فرعی می‌توان به پیروکسن، آمفیبیول، بیوتیت، کوارتز و اکسیدهای Fe-Ti و همچنین از کانی‌های ثانویه به سریسیت و کلریت اشاره نمود. کانی اصلی پلازیوکلاز (۶۰-۶۵٪) اغلب به صورت درشت بلورهای شکل‌دار تا نیم‌شکل‌دار و در برخی مقاطع دارای ماکل چندریخت، صلیبی و دارای منطقه‌بندی ترکیبی است. پلازیوکلازها در برخی قسمت‌ها سریسیتی شده‌اند. پلازیوکلازها در زمینه بصورت ریزسنگی و جریانی هستند. فلدسپارهای پتاسیم (۱۰-۱۵٪) سنگ را تشکیل داده و در خمیره سنگ دیده می‌شوند. در برخی مقاطع، ارتوکلاز دارای

آنها در برخی قسمت‌ها سریسیتی شده‌اند. میانبارهایی از بیوتیت درون پلازیوکلازها دیده می‌شود که بافت خال خال را تشکیل می‌دهند. فلدسپار پتاسیم حدود ۱۵-۱۰ درصد را شامل می‌شود. ارتوکلاز در برخی مقاطع این سنگ‌ها به صورت کلان بلورهایی با ماکل دوقلو دیده می‌شود. در برخی مقاطع ارتوکلازها کمی کائولینیتی شده‌اند. کوارتزها به مقدار محدود ۲۰-۲۵ درصد دیده شده‌اند، که بصورت دانه‌های ریز در خمیره‌ی ریز بلور از کوارتز، فلدسپار پتاسیم پرتیتی و پلازیوکلاز قرار دارند. در برخی مقاطع، رگه‌هایی از کوارتز سنگ را قطع کرده‌اند. بیوتیت حدود ۵-۱۰ درصد سنگ را شامل می‌شود. بیوتیت بصورت بلورهای نیمه‌شکلدار و با اندازه ریز و متوسط تا درشت دیده می‌شود و در بردارنده میانبارهای زیرکن و آپاتیت است. در این نوع از سنگ‌ها، بیوتیت دارای قهقهه‌ی رنگ است. در برخی بیوتیت‌ها، لبه سوخته وجود دارد که این لبه‌ها بافت کدرشده را نشان می‌دهند. گاهی بیوتیت بصورت میانبارهایی درون ارتوکلاز نیز دیده می‌شود. در برخی از نمونه‌ها، بیوتیت‌ها به کلریت دگرسان شده‌اند. کانی فرعی آمفیبیول کمتر از ۵ درصد و بصورت بلورهای بلند و منشوری بوده که در اثر دگرسانی به کلریت تبدیل شده است. مقدار آن کمتر از بیوتیت است. کانی فرعی زیرکن بصورت بلورهای کوچک با برجستگی بالا قابل شناسایی است و بصورت میانبار در بیوتیت‌ها دیده می‌شود. کانی فرعی آپاتیت بصورت بلورهای منشوری و سوزنی شکل و بصورت میانبار درون کانی‌های دیگر وجود دارد. کانی‌های ثانویه در اثر دگرسانی گرمابی در این سنگ‌ها بوجود آمده‌اند و شامل سریسیت، کلریت، به مقدار کمی کائولینیت هستند. سریسیت از دگرسانی پلازیوکلازها، کلریت از دگرسانی بیوتیت و آمفیبیول و کائولینیت از دگرسانی ارتوکلاز شکل گرفته‌اند. در برخی مقاطع، کانی‌های بیوتیت و آمفیبیول سالم هستند و دگرسان نشده‌اند. بافت پورفیری با خمیره ریز بلور دیده می‌شود. دگرسانی این سنگ‌ها در حد آرژیلیک متوسط است (شکل‌های ۳-پ-ت).

مونزودیوریت: این سنگ‌ها در نمونه دستی به صورت خاکستری روشن قابل تشخیص بوده و دارای شاخص رنگ در حد نیمه روشن و بصورت سامانه دایکی هستند. در مقاطع نازک این سنگ‌ها، بافت پورفیری با خمیره ریزبلور دیده می‌شود. کانی‌های اصلی سنگ را پلازیوکلاز، فلدسپار پتاسیم تشکیل می‌دهند؛ از جمله کانی‌های فرعی می‌توان به کوارتز، بیوتیت،

### کانی‌نگاری

کانی‌زایی در منطقه مورد بررسی به دو صورت درونزاد و برونزاد رخ داده است. کانی‌سازی برونزاد می‌تواند بر بیشتر توده‌های معدنی اثر بگذارد، به این ترتیب که پس از تشکیل یک کانسار، بالآمدن و فرسایش ممکن است آن را در معرض آبهای زیرزمینی چرخان قرارداده و در نتیجه بخشی از فلزهای آن بخش از توده معدنی در بالای سفره آب زیرزمینی را غنی کند. مجموعه کانی‌های درونزاد در این توده بصورت رگه- رگچه‌ای و افشار حضور دارند. گفتنی است که از میان توده‌های موجود در منطقه، توده‌های گرانودیوریت پورفیری و کوارتزمونزنوزنیت دارای کانه‌سازی مس و مولیبدن هستند. مهمترین کانی‌های درونزاد قابل تشخیص در منطقه از نوع سولفیدی بوده و به ترتیب کاهش فراوانی شامل پیریت و کالکوپیریت هستند. کانی‌سازی سولفیدی، سولفوسالتی، اکسید و هیدروکسیدهای آهن در منطقه گسترش دارند. پیریت، کالکوپیریت، اسفالریت، تترائدریت- تنانتیت و مولیبدنیت از سولفیدهای اولیه منطقه هستند که فازهای ثانویه کالکوسیت، بورنیت، کوولیت، اکسیدهای آهن از دگرسانی آنها شکل گرفته‌اند. بافت کانه‌زایی اغلب دانه پراکنده (افشان) و رگچه‌ای است.

پیریت نخستین و فراوانترین کانی سولفیدی به رنگ زرد مایل به سفید و به صورت بلورهای شکلدار تا بی‌شکل با رخداد افشار و رگه‌ای است. این کانی فراورده دگرسانی فیلیک بخش‌هایی از سنگ دیواره بوده که در اثر فرایندهای برونزاد به اکسی- هیدروکسیدهای آهن تبدیل شده یا از لبه در حال تبدیل شدن به این کانی‌هاست (شکل‌های ۵ الف، ب). مهمترین کانی سولفیدی مس کالکوپیریت بوده و کانه اصلی فلز مس در منطقه مورد بررسی است. بلورهای این کانی بی- شکل بصورت ذرات بسیار ریز تا به نسبت درشت و بصورت افشار و رگچه‌ای دیده می‌شوند. بلورهای شکلدار پیریت گاهی از لبه‌ها با کالکوپیریت در حال جانشینی هستند. در برخی مقاطع، کالکوپیریت با کالکوسیت جانشین شده است و این دیده آن را تأیید می‌کند (شکل‌های ۵ الف، ب، پ). مولیبدنیت بصورت افشار است (شکل ۵ ت) و در برخی مقاطع صیقلی بعلت پولکی بودن مولیبدنیت و سایش آنها، آثاری از مولیبدنیت دیده می‌شود (شکل ۵ ث). کانی‌سازی مولیبدنیت بیشتر همراه با توده کوارتزمونزنوزنیت است. اسفالریت بصورت بلورهای نیمه- شکلدار و بی‌شکل، بصورت پراکنده همراه با کالکوپیریت دیده

ماکل دوقلو است. کلینوپیروکسن (۱۰- ۵٪) بصورت درشت بلور در متن سنگ دیده می‌شود و بیشتر در لبه‌ها به اورالیت دگرسان شده است. کانی فرعی کوارتز حدود ۵- ۱٪ زمینه سنگ را تشکیل می‌دهد. آمفیبول (۵- ۱٪) کمتر از پیروکسن- ها قابل مشاهده است. بیوتیت (۵- ۱٪) بصورت درشت بلور بوده و در لبه‌ها ناپایدار و به کلریت و کلریت هستند. سریسیت از دگرسانی پلاژیوکلازها و کلریت از دگرسانی پیروکسن و آمفیبول شکل گرفته‌اند. در مقاطع نازک این سنگ‌ها، بافت ریزسنگی پورفیریک دیده می‌شود (شکل‌های ۳ ج-ح).

### دگرسانی‌ها

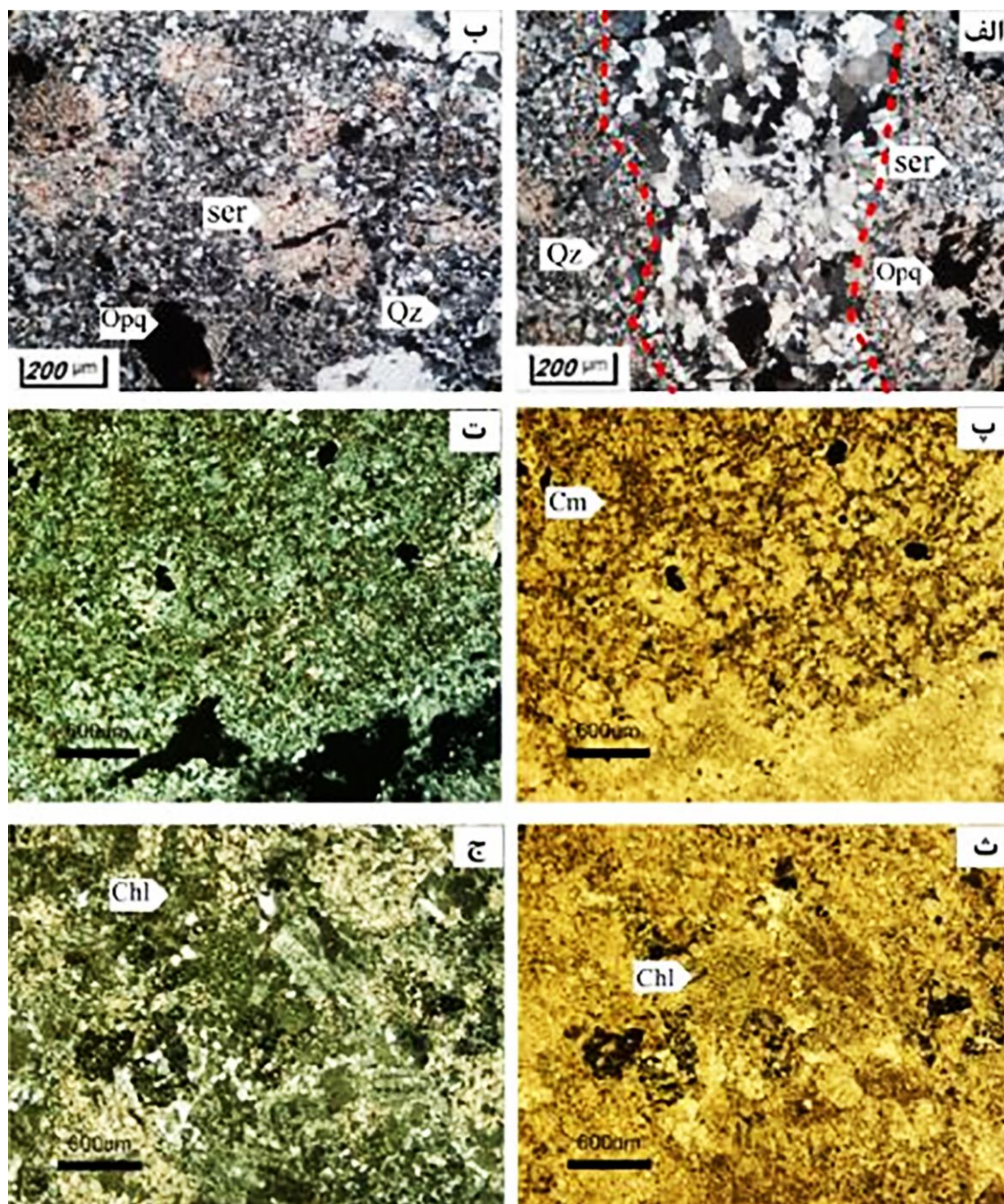
دگرسانی فیلیک متوسط تا شدید: این دگرسانی بیشتر در توده کوارتزمونزنوزنیت پورفیری دیده می‌شود. در این توده، پلاژیوکلازها و فلدسپارپاتاسیم به سریسیت دگرسان شده‌اند. در برخی از نمونه‌ها، دگرسانی فیلیک ضعیف بوده و آثار فلدسپارهای اولیه تا حدی مشخص است. توده کوارتزمونزنوزنیت پورفیری که بیشتر دچار دگرسانی فیلیک شده، دارای شکستگی‌های داریستی شدیدی است که این شکستگی‌ها بیشتر با پیریت و فراورده‌های برونزادی آن پر شده‌اند (شکل- های ۴ الف و ب). در گستره توده گرانودیوریت پورفیری در برخی قسمت‌ها، دگرسانی فیلیک شدید نیز دیده می‌شود.

دگرسانی آرژیلیک شدید تا متوسط: توده کوارتزمونزنوزنیت پورفیری در برخی مناطق با دگرسانی آرژیلیک متوسط تا شدید همپوشی دارد. در برخی از نمونه‌ها، در اثر دگرسانی شدید آرژیلیک انباشتی از جاروسیت، هماتیت، لیمونیت و کانی‌های رسی تشکیل شده است. در نمونه‌هایی از گرانودیوریتها در کنار گسل‌ها و پهنه‌های برشی، دگرسانی آرژیلیک شدید تا متوسط نیز گسترش یافته است. در این توده، دگرسانی‌های فیلیک- آرژیلیک قابل دیده هستند (شکل ۴ پ و ت).

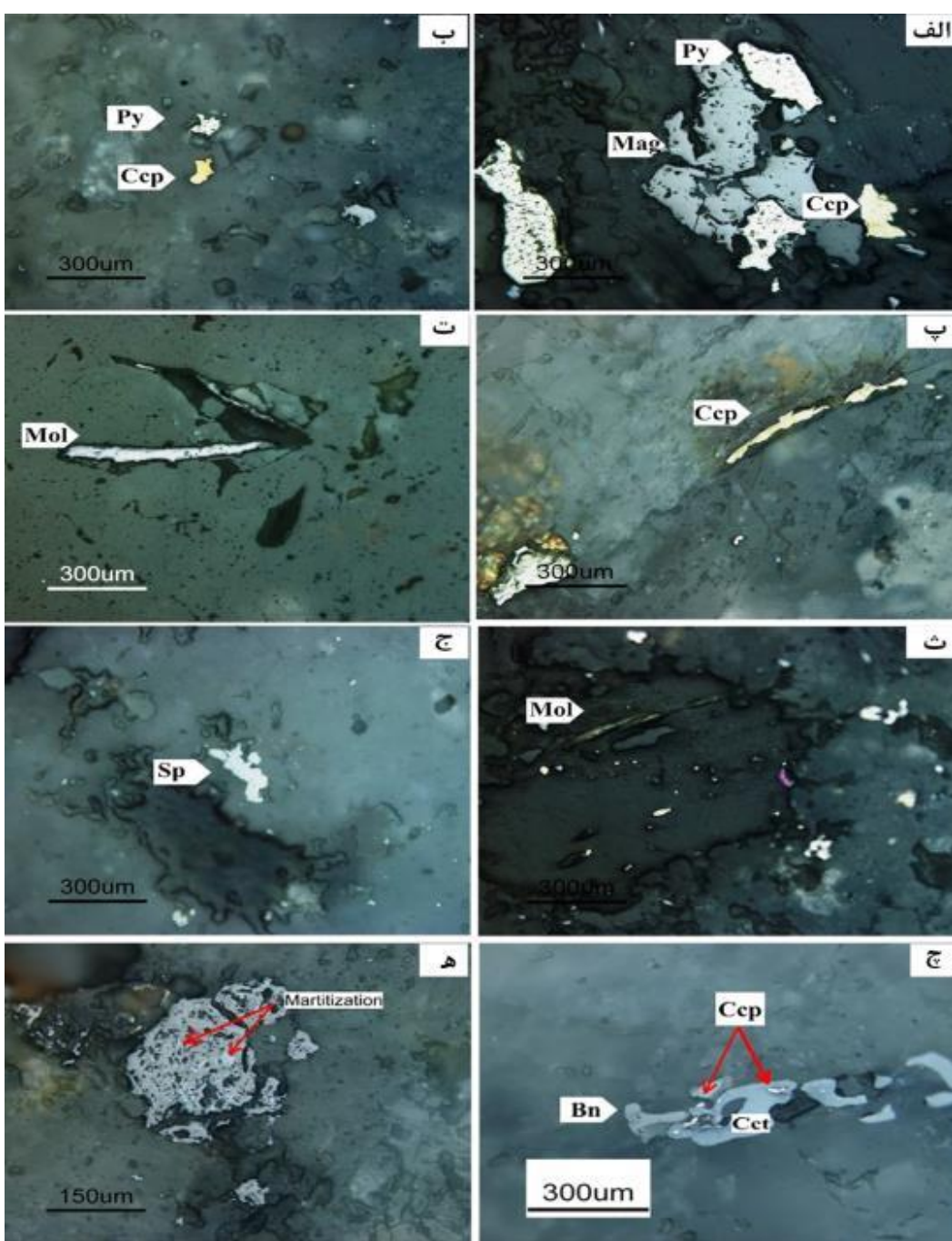
دگرسانی پروپیلیتیک: از آنجاکه واحد گدازه‌های آندزیت بازالتی، تراکی آندزیت و توف از جنوب با توده‌های نفوذی منطقه همیری گرمایی دارند، سنگ‌های این واحد در اثر سیال‌های برآمده از توده‌های نفوذی و دمای آنها دچار دگرسانی پروپیلیتیک شده‌اند که با انباشت اپیدوت در خمیره‌ی سنگ و همچنین وجود کلریت مشخص می‌شود (شکل‌های ۴ ث، ج)

است. مگنتیت از مهمترین کانی‌های اکسیدی در این توده است و بصورت افشار دیده می‌شود (شکل ۵ الف). در برخی قسمت‌ها، فرایند مارتیتی شدن و تبدیل شدگی به هماتیت قابل مشاهده است.

می‌شود (شکل ۵ ج). تتراهدرایت تنها کانی سولفوسالتسی است که بصورت بی‌شکل در اندازه‌های متفاوت و دانه‌ریز بهمراه کالکوپیریت و بورنیت دیده می‌شود. بررسی‌های کانی‌نگاری نشانگر تشکیل این کانی در مراحل پایانی فعالیت‌های گرمابی



شکل ۴ الف و ب- سریسیتی شدن در کانی‌های اولیه طی دگرسانی فیلیک در نور قطبیده متقطع، (xpl)، پ و ت- ایجاد کانی‌های رسی طی دگرسانی آرژیلیک (به ترتیب در نور قطبیده صفحه‌ای، ppl و ت- (xpl)، ث و ج- کلریتی شدن شدید (Chl) در اثر دگرسانی پروپیلیتیک (به ترتیب در ppl و xpl)



شکل ۵ الف- پیریت، کالکوپیریت، مگنتیت. ب- پیریت و کالکوپیریت بصورت بافت رگه‌ای در توده گرانودیوریت پورفیری. ت- کانی‌سازی مولیبدنیت همراه با بافت افسان (دانه‌ای) در توده کوارترمونزونیت. ث- مولیبدنیت که برای سایش بصورت پولکی و ساییده شده است. ج- بورنیت- کالکوپیریت- اسفالریت. چ- بورنیت بهمراه کالکوپیریت درون آن. ه- فرایند مارتیتی شدن.

است. این کانی در رخنمون‌های سطحی دیده نمی‌شود و به مقدار کم بصورت افسان و سولفیدهای اولیه پیریت و کالکوپیریت نیز بصورت میانبار درون آن وجود دارند (شکل ۵ چ). وجود اکسیدهای آهن در منطقه بیانگر شرایط اکسایشی در

بورنیت نیز از کانی‌های سولفیدی مس است که بصورت بی‌شکل در لبه‌های کالکوپیریت (شکل ۵ چ) و کانی کوولیت به مقدار کم پیرامون سولفیدهای اولیه از جمله کالکوپیریت دیده می‌شود. کالکوپیریت از کانی‌های برونزاد مس در شرایط برونزایی

**زمین شیمی**  
**نتایج تجزیه ۱۲ نمونه مورد بررسی به روش های XRF برای عناصر اصلی و ICP-OES برای عناصر کمیاب در جدول ۱ آمده است.**

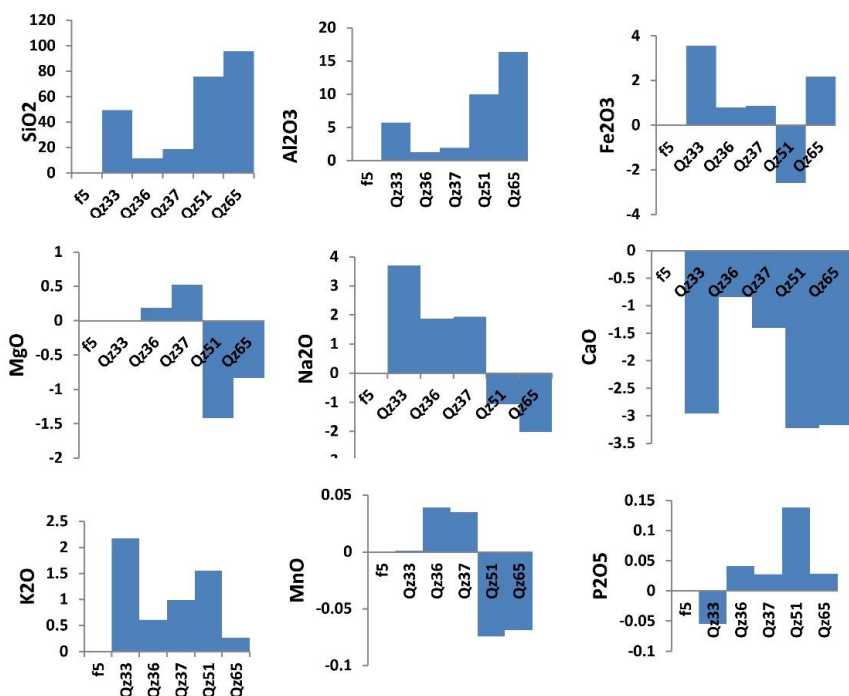
منطقه است. هماتیت در لبه برخی از کانی های پیریت و کالکوپیریت دیده می شود. فرایند مارتیتی شدن در مگنتیتها نیز قابل مشاهده است (شکل ۵).

**جدول ۱** نتایج تجزیه نمونه ها به روش XRF برای عناصر کمیاب و فرعی برحسب درصد وزنی).

| Sample                         | Qz-5   | Qz31  | Qz-32 | Qz-33 | Qz-36  | Qz-37 | Qz-38 | Qz-41 | Qz-51 | Qz-53 | Qz65  | Qz-85 |
|--------------------------------|--------|-------|-------|-------|--------|-------|-------|-------|-------|-------|-------|-------|
| SiO <sub>2</sub>               | ۶۷,۳۲  | ۶۵,۱۲ | ۸۶,۱۲ | ۷۰,۰۴ | ۵۷,۲۴  | ۶۸,۹۱ | ۶۵,۷۲ | ۶۷,۲۱ | ۷۵,۹۸ | ۶۶,۳۲ | ۷۱,۱۲ | ۷۱,۸۲ |
| Al <sub>2</sub> O <sub>3</sub> | ۱۵,۶۲  | ۱۵,۱۴ | ۹,۵۴  | ۱۲,۹۱ | ۱۴,۴۶  | ۱۴,۰۲ | ۱۳,۸  | ۱۵,۱۸ | ۱۳,۶۴ | ۱۷,۹۷ | ۱۴,۵۵ | ۱۱,۳۸ |
| CaO                            | ۲,۴۷   | ۱,۶۹  | ۰,۰۶  | ۰,۳۱  | ۲,۲۴   | ۱,۶۵  | ۰,۳۱  | ۱,۰۶  | ۰,۱۳  | ۰,۱۳  | ۰,۱۴  | ۲,۲   |
| Fe <sub>2</sub> O <sub>3</sub> | ۳,۸۲   | ۰,۲   | ۱,۳۳  | ۴,۴۶  | ۳,۹۵   | ۳,۷۵  | ۷,۸۲  | ۴,۲۷  | ۰,۶۶  | ۱۰,۵۷ | ۲,۷۳  | ۴,۲۳  |
| MgO                            | ۳,۹۲   | ۱,۰۱  | ۰,۰۸  | ۱,۱۶  | ۱,۸۱   | ۱,۹۶  | ۲,۰۴  | ۱,۷۱  | ۰,۲۷  | ۰,۳۵  | ۰,۵   | ۲,۷۵  |
| 2O <sub>۲</sub> Na             | ۲,۱۷   | ۳,۴۱  | ۰,۰۱  | ۳,۵۴  | ۳,۴۶   | ۳,۲۸  | ۰,۰۷  | ۳,۰۹  | ۰,۵۹  | ۰,۱۱  | ۰,۰۷  | ۰,۸   |
| K <sub>2</sub> O               | ۳,۸۷   | ۳,۹۶  | ۰,۳۵  | ۳,۸۵  | ۳,۸۳   | ۳,۸۸  | ۳,۳۱  | ۳,۷۷  | ۲,۸۸  | ۲,۱۷  | ۱,۸۸  | ۰,۳۶  |
| TiO <sub>2</sub>               | ۰,۶۱   | ۰,۴۹  | ۰,۴۱  | ۰,۳۵  | ۰,۴۹   | ۰,۴۶  | ۰,۴۲  | ۰,۳۹  | ۰,۳   | ۰,۴   | ۰,۲۶  | ۰,۱۹  |
| MnO                            | ۰,۰۸   | ۰,۰۶  | ۰,۰۰۳ | ۰,۰۴۹ | ۰,۱۰۲  | ۰,۰۹۲ | ۰,۰۱۵ | ۰,۰۵  | ۰,۰۰۳ | ۰,۰۰۶ | ۰,۰۰۵ | ۰,۰۳۵ |
| P <sub>2</sub> O <sub>۵</sub>  | ۰,۳۱   | ۰,۲۹۶ | ۰,۱۴۴ | ۰,۱۵۴ | ۰,۳    | ۰,۲۷  | ۰,۱۸۱ | ۰,۲۰۲ | ۰,۲۳۸ | ۰,۳۰۲ | ۰,۱۵۴ | ۰,۰۷۳ |
| L.O.I                          | ۰,۶۴   | ۲,۴۴  | ۱,۸۲  | ۲,۰۲  | ۱,۸۶   | ۱,۴۴  | ۵,۴۸  | ۱,۵۸  | ۵,۳۸  | ۱,۴۹  | ۵,۴۲  | ۶,۰۲  |
| S                              | ۱۶۲    | ۰,۶۴  | ۰,۲۷  | ۰,۷۳  | ۰,۱۹   | ۰,۱۹  | ۱,۷   | ۰,۷۹  | ۰,۳۳  | ۰,۰۴  | ۰,۲۷  | ۰,۰۳  |
| As                             | ۲      | ۴     | ۲۶,۱  | ۳,۴   | ۰,۹    | ۲,۴   | ۱۸,۳  | ۲,۲   | ۱۰,۳  | ۱۳۲   | ۵,۱   | ۵۹,۶  |
| Ba                             | ۷۵۲    | ۷۲۰   | ۹۰    | ۶۰۰   | ۸۰۰    | ۱۱۱۰  | ۱۲۷۰  | ۷۹۰   | ۲۲۰   | ۳۱۰   | ۷۲۰   | ۵۵۰   |
| Cd                             |        | ۰,۴۳  | ۰,۰۹  | ۰,۰۸  | ۰,۲۹   | ۰,۵۹  | ۰,۰۳  | ۰,۰۶  | ۰,۰۴  | ۰,۲۳  | ۰,۰۷  | ۰,۰۴  |
| Ce                             | ۸۱     | ۹۱,۴  | ۵۲,۸  | ۳۵,۲  | ۹,۰۱   | ۷۵    | ۲۳,۸  | ۷۹,۲  | ۶۴,۱  | ۳۰,۲  | ۹۴,۵  | ۵,۵۶  |
| Co                             | ۸,۱    | ۱۳,۷  | ۲,۵   | ۴     | ۷,۵    | ۹     | ۸,۷   | ۴,۲   | ۰,۲   | ۳,۵   | ۱,۷   | ۱,۹   |
| Cr                             | ۲۳     | ۹     | ۹     | ۲۷    | ۱,۰    | ۸     | ۱۹۹   | ۱۴    | ۱۱    | ۲۴۱   | ۹     | ۱۷    |
| Cs                             | ۲      | ۳,۰۹  | ۰,۸۵  | ۲,۰۸  | ۲,۷۲   | ۲,۶   | ۸,۵   | ۲,۰۶  | ۱,۳۹  | ۳,۹۵  | ۲,۶۹  | ۰,۸۳  |
| Cu                             | ۳۸     | ۴۴,۳  | ۳۵,۸  | ۱۹۹   | ۱۵,۱,۵ | ۳,۰۹  | ۵۲,۴  | ۱۵,۲  | ۲۳,۵  | ۹۹,۳  | ۳۱,۳  | ۸,۶   |
| Ga                             | ۱۷,۳   | ۹,۹۲  | ۱,۶۶  | ۱۶,۱  | ۱۵,۰۵  | ۱۹,۰۵ | ۱۸,۲۵ | ۱۰,۵۵ | ۱۸,۷  | ۱۶,۸۵ | ۴,۵۶  |       |
| Ge                             | ۰,۳۶   | ۰,۱۸  | ۰,۲۷  | ۰,۲۴  | ۰,۳    | ۰,۲۲  | ۰,۱۶  | ۰,۲۲  | ۰,۲۷  | ۰,۱۹  | ۰,۱۶  |       |
| Hf                             | ۱,۶۳   | ۰,۵   | ۰,۳   | ۰,۲   | ۰,۲    | ۰,۲   | ۰,۱   | ۱,۲   | ۰,۸   | ۰,۳   | ۰,۶   | ۰,۳   |
| La                             | ۴۸     | ۵۳    | ۳۰,۴  | ۲۲,۴  | ۵۲,۵   | ۴۴,۷  | ۱۲,۴  | ۴۷,۹  | ۳۷    | ۱۴,۷  | ۵۴,۹  | ۲,۴   |
| Li                             | ۱۲     | ۱۰,۲  | ۲۵    | ۱۲    | ۱۲,۳   | ۱۲,۷  | ۱۴    | ۱۱,۷  | ۲,۸   | ۳۹,۱  | ۱۹    | ۱۱,۵  |
| Mo                             | ۲,۲    | ۲۵,۱  | ۱۶,۶۵ | ۱۶,۳  | ۴,۲,۸  | ۵,۳۹  | ۳,۰,۹ | ۳,۱۹  | ۱۰,۷۵ | ۱۹,۵۵ | ۳۵    | ۰,۶۲  |
| Nb                             | ۲۰,۸   | ۲۲,۹  | ۱۸    | ۷,۶   | ۱۸,۶   | ۲۰    | ۱,۸   | ۱۷,۳  | ۱۶,۸  | ۲     | ۱۳۳   | ۵,۴   |
| Ni                             | ۱۱     | ۱۵,۵  | ۲,۶   | ۶,۱   | ۵,۷    | ۷,۳   | ۱۶,۹  | ۶,۳   | ۱     | ۱۵,۹  | ۲,۴   | ۵,۱   |
| Pb                             | ۲۱     | ۳۴,۶  | ۶۹,۹  | ۶۷,۲  | ۲۶,۷   | ۳۰,۸  | ۲۵,۸  | ۳۷,۷  | ۱۷۵,۵ | ۳۸,۸  | ۵۷    | ۴,۶   |
| Rb                             | ۷۸     | ۱۱۱   | ۱۴,۵  | ۸,۰,۹ | ۹,۹,۷  | ۱,۰,۸ | ۱۳,۴  | ۹,۵   | ۷۵,۲  | ۷۳,۳  | ۸۵,۹  | ۲۱,۲  |
| Re                             | ۰,۰۷۸  | ۰,۰۲۲ | ۰,۰۵  | ۰,۱۷۵ | ۰,۲۱۷  | ۰,۰۰۲ | ۰,۰۰۲ | ۰,۰۰۳ | ۰,۰۰۳ | ۰,۰۰۸ | ۰,۰۰۲ |       |
| Sb                             | ۰,۵    | ۰,۵   | ۸,۹۹  | ۰,۲۹  | ۰,۷    | ۰,۲۹  | ۳,۹۸  | ۰,۴۹  | ۳,۷۱  | ۳,۹۳  | ۱,۳۷  | ۲,۹۸  |
| Sc                             | ۶,۶    | ۷,۲   | ۴,۱   | ۶,۵   | ۶,۷    | ۶,۹   | ۲۷,۴  | ۸,۸   | ۵,۳   | ۲۴,۳  | ۵,۵   | ۱۲,۸  |
| Sr                             | ۶۱۵    | ۴۴,۳  | ۳۸,۲  | ۲۱۷   | ۳۶,۴   | ۳۸,۲  | ۶۹,۸  | ۴۲۰   | ۲۷۲   | ۲۶۲   | ۱۶۴,۵ | ۱۴۲,۵ |
| Ta                             | ۲۴۶    | ۴,۱۸  | ۱,۴۹  | ۲,۱۴  | ۱,۴۲   | ۳,۱۶  | ۱,۰,۸ | ۱۳,۲  | ۱۴,۶  | ۰,۵   | ۱۳۹   | ۰,۳۹  |
| Te                             | ۰,۲۶   | ۰,۰۷  | ۰,۲۱  | ۰,۰۵  | ۰,۰۶   | ۰,۲۴  | ۰,۲۲  | ۰,۲   | ۰,۴۲  | ۰,۱۴  | ۰,۱۵  |       |
| Th                             | ۱۹,۰,۶ | ۲۲,۷  | ۱۵,۳  | ۴     | ۲۱,۷   | ۲۰,۱  | ۱,۷   | ۲۲,۳  | ۱۹,۱  | ۲     | ۲۵,۹  | ۶,۷   |
| Tl                             | ۰,۳۳   | ۰,۰۹  | ۰,۰۱  | ۰,۰۸  | ۰,۰۱   | ۰,۰۷  | ۲,۴   | ۰,۷۱  | ۲,۲۹  | ۱,۴۹  | ۰,۷۳  | ۰,۱۹  |
| U                              | ۳,۹۵   | ۴,۶   | ۱,۹   | ۱,۱   | ۵      | ۴,۳   | ۰,۳   | ۵,۵   | ۲,۸   | ۰,۶   | ۴     | ۰,۵   |
| V                              | ۷۳     | ۷۱    | ۴,۱   | ۵,۴   | ۸,۰    | ۶,۹   | ۲۲,۱  | ۸,۲   | ۵,۴   | ۱۸,۶  | ۴۹    | ۴۳    |
| W                              | ۲,۸    | ۳,۷   | ۶,۹   | ۳     | ۴,۴    | ۳,۶   | ۲     | ۲,۳   | ۶,۲   | ۰,۸   | ۳,۴   | ۱۱,۳  |
| Y                              | ۱۷,۹   | ۱۵    | ۶,۲   | ۵,۹   | ۱۳,۳   | ۱۲,۱  | ۴,۱   | ۸,۱   | ۴,۹   | ۹,۶   | ۸     | ۱۵,۳  |
| Zn                             | ۸,۳    | ۱۷,۸  | ۲۰    | ۶,۵   | ۹,۵    | ۱۰,۰  | ۴,۲   | ۶,۲   | ۱,۸   | ۲۲,۷  | ۱۸    | ۲۹    |
| Zr                             | ۱۹     | ۱۳,۹  | ۸,۱   | ۲,۹   | ۶,۸    | ۶,۱   | ۵     | ۴,۰,۲ | ۲۲,۴  | ۵,۵   | ۱۶,۲  | ۶,۳   |
| Dy                             | ۲,۳۶   | ۲,۹۲  | ۱,۰۳  | ۱,۱۵  | ۲,۸۵   | ۲,۵۸  | ۱,۸۷  | ۱,۹۴  | ۱,۱۹  | ۲,۵۳  | ۱,۸۳  | ۲,۴۳  |
| Er                             | ۱,۰,۶  | ۱,۴۴  | ۰,۷۲  | ۰,۶   | ۱,۴۳   | ۱,۲۶  | ۰,۵۸  | ۰,۸۷  | ۰,۴۸  | ۱,۲۴  | ۰,۷۵  | ۱,۸   |
| Eu                             | ۱,۴۳   | ۱,۴۱  | ۰,۷۳  | ۰,۶۵  | ۱,۲۹   | ۱,۲۱  | ۰,۵   | ۱,۱۳  | ۰,۶۶  | ۰,۹   | ۱,۰,۱ | ۰,۱۶  |
| Gd                             | ۳,۴۶   | ۲,۹۲  | ۲,۳۷  | ۱,۶۳  | ۳,۹۹   | ۳,۵۶  | ۱,۲۹  | ۳,۳   | ۲,۱۵  | ۲,۴۳  | ۳,۱۷  | ۱,۷۵  |
| Ho                             | ۰,۴۸   | ۰,۵۴  | ۰,۲۷  | ۰,۲۲  | ۰,۵۲   | ۰,۴۹  | ۰,۲   | ۰,۲۴  | ۰,۲۱  | ۰,۳۸  | ۰,۳۲  | ۰,۵۵  |
| Lu                             | ۰,۱۷   | ۰,۲۱  | ۰,۰۹  | ۰,۰۸  | ۰,۷۷   | ۰,۱۷  | ۰,۰,۸ | ۰,۱۴  | ۰,۰,۷ | ۰,۱۲  | ۰,۱۱  | ۰,۳۸  |
| Nd                             | ۳,۱,۷  | ۳۲,۴  | ۱۹,۵  | ۱۳,۵  | ۲۹,۷   | ۲۸,۴  | ۸,۸   | ۲۸,۱  | ۲۱    | ۱۵,۱  | ۳۰,۷  | ۳,۷   |
| Pr                             | ۷,۲۱   | ۹,۷۴  | ۵,۴۵  | ۳,۶۶  | ۸,۸۷   | ۷,۹۳  | ۲,۴۴  | ۸,۸   | ۶,۲۸  | ۳,۵   | ۸,۸۷  | ۰,۴۵  |
| Sm                             | ۴,۶۴   | ۵,۰۵  | ۲,۰۵  | ۲,۱۳  | ۴,۸۹   | ۴,۶۷  | ۱,۶۴  | ۴,۳۶  | ۳,۰,۸ | ۲,۹۳  | ۴,۵۵  | ۱,۰,۷ |
| Tb                             | ۰,۴۸   | ۰,۰۳  | ۰,۲۸  | ۰,۲   | ۰,۵۱   | ۰,۴۶  | ۰,۱۹  | ۰,۳۶  | ۰,۲۵  | ۰,۳۳  | ۰,۳۶  | ۰,۳۳  |
| Tm                             | ۰,۲۲   | ۰,۲   | ۰,۱   | ۰,۰۸  | ۰,۱۹   | ۰,۱۷  | ۰,۱۳  | ۰,۱۳  | ۰,۰,۷ | ۰,۱۳  | ۰,۱   | ۰,۲۸  |
| Yb                             | ۱,۱    | ۱,۲۲  | ۰,۰۴  | ۱,۷۸  | ۱,۱۵   | ۱,۰,۸ | ۰,۴۲  | ۰,۱۷  | ۰,۴۶  | ۰,۷۹  | ۰,۷   | ۲,۰۲  |

در سیال‌های گرمابی و تولید کانی پیریت باشد. غنی‌شده‌گی عنصر P در این پهنه به احتمال بسیار در اثر تخریب کانی‌های آپاتیت سنگ مادر گرانودیوریتی و تمرکز دوباره آنها به صورت کانی‌های ثانویه فسفات‌دار بوده است. هرچند بخشی از عنصر P نیز ممکن است با محلول‌های دگرسان‌کننده به سامانه اضافه گردیده باشد. کاهش عنصر Mg طی تشکیل پهنه دگرسانی فیلیک شدید نشان‌دهنده تشکیل فازهای کانی‌یی آبدار و خروج Mg از محلول‌های دگرسان‌کننده است. این در حالی است که عنصر Mg در نمونه‌های دیگر بعلت همپوشی دو پهنه فیلیک و پروپیلیتیک تا حدی افزایش یافته است. کاهش عنصر Mn در نمونه‌های دگرسانی شدید فیلیک در اثر تخریب کانی‌های Mn فرومیزین در سامانه‌های واکنشی سنگ-آب و آزادشدن از محلول‌های دگرسان‌کننده رخ داده اما افزایش آن در نمونه‌های فیلیک-پروپیلیتیک بیانگر ورود این عنصر توسط محلول‌های درونزad مسئول دگرسانی به سامانه و تثیت آن در کانی‌های ثانویه چون کلریت است. عنصر Mn نیز بدلیل داشتن همبستگی مثبت با عنصر Fe (۰.۷۳) رفتاری شبیه این عنصر را نشان می‌دهد، افزایش Mn می‌تواند به دلیل شعاع یونی و بار مشابه  $Mn^{2+}$  و  $Fe^{2+}$  باشد. غنی‌شده‌گی مواد فرار (L.O.I) به دلیل تشکیل کانی‌های ثانویه آبداری چون سریسیت در این پهنه است.

**زمین‌شیمی عناصر اصلی**  
تقرباً همه عناصر اصلی و فرعی، کموبیش متحرک هستند و در عمل عنصر بی‌تحرک وجود ندارد (شکل ۶). تغییرات جرم در این پهنه نشان می‌دهد که عناصر Ca, Mn, Mg با کاهش جرم و عناصر K, P, Si با افزایش جرم همراه بوده‌اند. افزایش سیلیس هماهنگ با سیلیسی شدن رایج است که یک ویژگی اصلی دگرسانی فیلیک به شمار می‌آید [۱۰]. چنین افزایشی اغلب در دگرسانی فیلیک مورد انتظار بوده، که به دلیل پیوستن آن بصورت رگه‌های کوارتز است. در واقع، حضور سیلیس به شکل‌های مختلف در درزهای رگه‌ها و رگچه‌ها در راستای رخ کانی‌ها و بصورت سیلیس ثانویه، سبب افزایش جرم سیلیس در این پهنه شده است. Na طی تشکیل پهنه دگرسانی فیلیک شدید در اثر دگرسانی شدید و تخریب فلدسپارها توسط محلول‌های دگرسان‌کننده از سامانه خارج شده است. بنظر می‌رسد که Ca نیز با فرایندی شبیه Na دچار شستشو گردیده است. افزایش عنصر K بدلیل تشکیل سریسیت بر پایه دگرسانی فیلیک است. همبستگی این عنصر در ضرایب همبستگی حالت منفی را نشان می‌دهد، که می‌تواند ناشی از دگرسانی نمونه‌های سطحی و خروج K از سامانه باشد. افزایش جرم Fe در این پهنه به احتمالاً بسیار می‌تواند بدلیل واکنش آهن ناشی از دگرسانی کانی‌های مافیک با آهن و گوگرد موجود



شکل ۶ تغییرات جرم عناصر اصلی، فرعی و L.O.I در نمونه‌های مورد بررسی در پهنه دگرسانی فیلیک شدید و فیلیک-پروپیلیتیک که نمونه F5 به نسبت سالم و Q33, 36, 37, 51, 65 دگرسان شده هستند

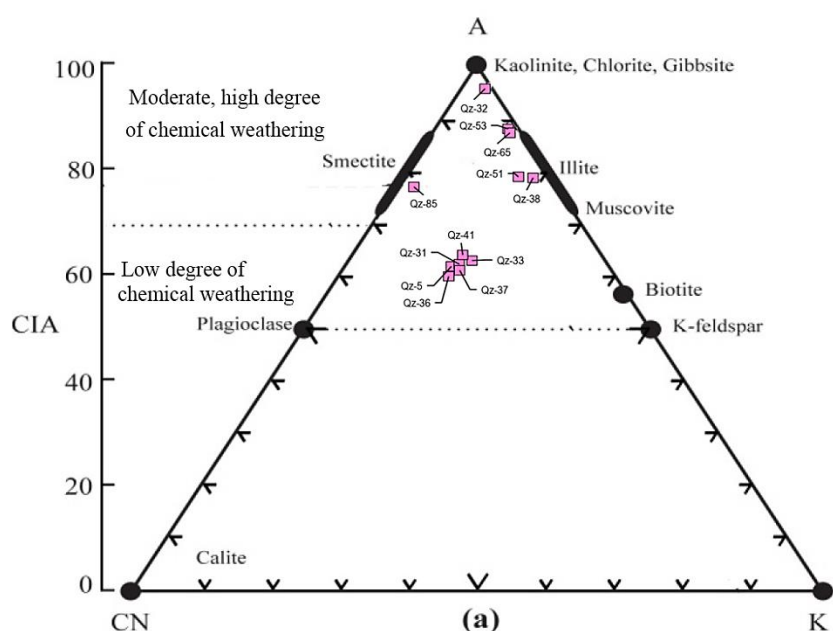
### زمین شیمی عناصر فرعی و کمیاب

با مقایسه ویژگی‌های زمین شیمیابی سنگ‌های دگرسان شده با سنگ‌های غیردگرسان می‌توان آثار فرایندهای دگرسانی بر پراکندگی عناصر را ارزیابی نموده و رفتارهای زمین شیمیابی عناصر مختلف را در این شرایط بررسی کرد. تجزیه زمین-عنصر مختلف شدت دگرسانی و حمل عناصر قلیایی این مقدار می-تعیین تغییر جرم طی مراحل مختلف دگرسانی انجام شد. با تجزیه زمین شیمیابی عناصر اصلی، عناصر فرعی، عناصر عبوری جزئی، عناصر با شدت میدان بالا و عناصر سنگ دوست درشت یون تغییرات شیمیابی و کانی‌شناسی سنگ خاستگاه دگرسان نشده، تغییرات ترکیب سنگ و واکنش بین سنگ و آب طی تکامل دگرسانی گرمابی مشخص می‌شوند [۱۲]. برای محاسبه تغییرات جرم در سامانه‌های دگرسانی از روش‌های زمین-شیمیابی چون روش هم غلظت [۱۳] روش عامل حجم [۱۴] و روش عناصر غیرمتحرک [۱۵، ۱۶] استفاده می‌شود.

افزایش درجه دگرسانی به کاهش  $K_2O$ ,  $CaO$ ,  $MgO$  و  $Na_2O$  و غنی‌شدن  $Al_2O_3$  منجر می‌شود. برای این موارد از شاخص شیمیابی دگرسانی استفاده می‌شود. [۱۱]:  
 $CIA = \frac{Al_2O_3}{(Al_2O_3 + CaO + Na_2O + K_2O)} \times 100$   
 بیشینه مقدار CIA برای سنگ‌های سالم ۵۰٪ است که با افزایش شدت دگرسانی و حمل عناصر قلیایی این مقدار می-تواند تا ۱۰۰٪ افزایش یابد. نتایج محاسبه این شاخص برای نمونه‌های منطقه مورد بررسی در جدول ۲ آورده شده، که بیشترین مقدار برای نمونه Qz-32 با بیشترین دگرسانی و کمترین مقدار برای Qz-36 سالم‌ترین نمونه است. بر پایه نمودار ACNK ارائه شده توسط نسبت و یانگ [۱۱]، وضعیت دگرسانی و CIA بررسی شد که نمونه‌های مربوط به دگرسانی‌های آرژیلیک و آرژیلیک-سیلیسی و سیلیسی به قطب A نزدیک شده و نمونه‌های پروپیلیتیک به سمت قطب CN منحرف شده‌اند. نمونه‌های تقریباً سالم نیز نزدیک خط فلدسپار‌قلیایی - پلازیوکلاز قرار دارند (شکل ۷).

جدول ۲ شاخص شیمیابی دگرسانی نمونه‌های منطقه مورد بررسی.

| نمونه | Qz-5  | Qz-31 | Qz-32 | Qz-33 | Qz-36 | Qz-37 | Qz-38 | Qz-41 | Qz-51 | Qz-53 | Qz-65 | Qz-85 |
|-------|-------|-------|-------|-------|-------|-------|-------|-------|-------|-------|-------|-------|
| CIA   | ۶۲,۱۶ | ۶۲,۵۶ | ۹۵,۷۸ | ۶۳,۲۵ | ۶۰,۲۸ | ۶۱,۴۱ | ۷۸,۹۰ | ۶۴,۳۲ | ۷۹,۱۲ | ۸۸,۱۷ | ۸۷,۴۴ | ۷۷,۲۰ |



شکل ۷ موقعیت نمونه‌ها در نمودار ACNK [۱۱].

زمین شیمیایی تغییرات جرم استفاده شد. برای تعیین تغییرات جرم عناصر اصلی و فرعی در منطقه مورد بررسی، تعداد ۶ نمونه از ۱۲ نمونه بررسی شده با روش ICP-MS، بعنوان نمونه‌های دگرسان شده (جدول ۳) در نظر گرفته شدند.

در این روش‌ها، از عناصری چون Ti, Zr, Hf, Nb, Cr, Al به عنوان عناصر شاخص غیرمتحرك برای محاسبه تغییرات جرم استفاده شده و تغییرات عناصر دیگر نسبت به این عناصر ارزیابی می‌شوند. برای بررسی توزیع و پراکندگی عناصر اصلی، فرعی، جزئی و خاکی نادر در پهنه دگرسانی فیلیک از روش

جدول ۳ تغییرات جرم عناصر اصلی، فرعی در نمونه‌های مورد بررسی.

| عناصر                          | نمونه سالم |         | نمونه‌های دگرسانی فیلیک-پروپیلیتیک |         |         | نمونه‌های دگرسانی فیلیک شدید |  |
|--------------------------------|------------|---------|------------------------------------|---------|---------|------------------------------|--|
|                                | F5         | Q33     | Q36                                | Q37     | Q51     | Q65                          |  |
| عناصر اصلی                     |            |         |                                    |         |         |                              |  |
| SiO <sub>2</sub>               | .          | ۴۹,۵۳   | ۱۱,۳۷                              | ۱۸,۹۱   | ۷۵,۸۳   | ۹۵,۶۰                        |  |
| Al <sub>۲</sub> O <sub>۳</sub> | .          | ۵,۷۶    | ۱,۳۰                               | ۱,۹۲    | ۱۰,۰۴   | ۱۶,۳۶                        |  |
| CaO                            | .          | -۲,۹۵   | -۰,۸۴                              | -۱,۴۰   | -۳,۲۲   | -۳,۱۶                        |  |
| Fe <sub>۲</sub> O <sub>۳</sub> | .          | ۳,۵۶    | ۰,۸۰                               | ۰,۸۷    | -۲,۵۷   | ۲,۱۸                         |  |
| MgO                            | .          | -۰,۰۸   | ۰,۱۸                               | ۰,۰۲    | -۱,۴۲   | -۰,۸۳                        |  |
| Na <sub>۲</sub> O              | .          | ۳,۶۹    | ۱,۸۷                               | ۱,۹۳    | -۱,۰۵   | -۲,۰۱                        |  |
| K <sub>۲</sub> O               | .          | ۲,۱۷    | ۰,۶۱                               | ۰,۹۸    | ۱,۰۵    | ۰,۲۶                         |  |
| TiO <sub>۲</sub>               | .          | -۰,۰۳   | -۰,۰۳                              | -۰,۰۳   | -۰,۰۴   | -۰,۰۳                        |  |
| MnO                            | .          | ۰,۰۱    | ۰,۰۳                               | ۰,۰۳    | -۰,۰۷   | -۰,۰۶                        |  |
| P <sub>۲</sub> O <sub>۵</sub>  | .          | -۰,۰۵   | ۰,۰۴                               | ۰,۰۲    | ۰,۱۳    | ۰,۰۲                         |  |
| L.O.I                          | .          | ۲,۷۰    | ۱,۵۳                               | ۱,۱۶    | ۹,۴۹    | ۱۱,۲۷                        |  |
| LILE(M.C)                      |            |         |                                    |         |         |                              |  |
| Ba                             | .          | ۲۴,۱۹۱  | ۱۸,۴۲۴                             | ۶۳۷,۱۲  | -۳۳۷,۵۰ | ۸۳۰,۶۱                       |  |
| Pb                             | .          | ۹,۰۳۱   | ۱,۷۲۴                              | ۱۷,۵۴   | ۳,۹۶۵   | ۱۰,۴۲۹                       |  |
| Th                             | .          | -۱۲,۴۳  | ۶,۳۳                               | ۶,۰۹    | ۱۶,۹۲   | ۳۷,۸۷                        |  |
| Sr                             | .          | -۲۵۵,۵۳ | -۱۸۹,۰۰                            | -۱۳۶,۹۴ | -۱۰۲,۵۳ | -۲۵۳,۴۱                      |  |
| Rb                             | .          | ۵۶,۰۱   | ۳۸,۶۷                              | ۵۷,۱۵   | ۶۳,۶۸   | ۱۱۰,۸۱                       |  |
| U                              | .          | -۲,۱۲   | ۱,۹۰                               | ۱,۴۳    | ۱,۲۲    | ۴,۸۴۲                        |  |
| HFSE(M.C)                      |            |         |                                    |         |         |                              |  |
| Zr                             | .          | -۱۴,۱۹  | -۱۱,۰۴                             | -۱۱,۳۶  | ۲۳,۲۰   | ۱۶,۶۰                        |  |
| Hf                             | .          | -۱,۲۹   | -۱,۳۹                              | -۱,۳۷   | -۰,۱۲   | -۰,۳۱                        |  |
| Ta                             | .          | ۱,۲۸    | -۰,۹۹                              | ۱,۸۹    | ۰,۹۹    | ۰,۷۹                         |  |
| Nb                             | .          | -۸,۲۱   | ۰,۹۶                               | ۴,۲۲    | ۱۰,۸۵   | ۸,۴۳                         |  |
| Ti                             | .          | .       | .                                  | .       | .       | .                            |  |
| P                              | .          | -۱۸۲,۱۳ | ۲۴۱,۱۰                             | ۱۸۴,۷۲  | ۶۶۷,۴۲  | ۱۸۰,۷۱                       |  |
| Y                              | .          | -۳,۱۲   | ۲,۶۶                               | ۲,۲۴    | -۳,۶۶   | ۴,۶۸                         |  |
| TRTE(M.C)                      |            |         |                                    |         |         |                              |  |
| Ag                             | .          | ۰,۵۴    | ۰,۰۸۷                              | ۰,۱۳    | ۰,۱۸    | ۰,۲۰                         |  |
| Co                             | .          | -۱,۴۷   | ۰,۷۹                               | ۲,۱۶    | -۷,۷۷   | -۴,۳۶                        |  |
| Cr                             | .          | ۲۱,۷۲   | -۱۱,۲۹                             | -۱۲,۹۸  | -۲,۲۷   | -۳,۲۱                        |  |
| Cu                             | .          | ۲۹,۱,۶۴ | ۱۳۹,۳۰                             | ۳۴۸,۷۰  | ۶,۷۷    | ۳۰,۷۹                        |  |
| Mo                             | .          | ۲۴,۸۰   | ۴۷,۸۸                              | ۶۵,۲۵   | ۱۸,۰۵   | ۷۴,۷۳                        |  |
| Ni                             | .          | -۰,۸۹   | -۴,۲۲                              | -۱,۸۶   | -۹,۱۱   | -۵,۷۲                        |  |
| W                              | .          | ۲,۱۶    | ۲,۳۴                               | ۱,۷۰    | ۸,۸۸    | ۴,۶۷                         |  |
| Zn                             | .          | ۲۴,۶۷   | ۲۸,۱۷                              | ۴۲,۱۴   | -۴۹,۰۸  | -۴۳,۴۳                       |  |
| V                              | .          | ۱۶,۴۵   | ۲,۰۶                               | ۱۳,۳۵   | ۲۸,۷۳   | ۳۴,۷۰                        |  |
| LREE (M.C)                     |            |         |                                    |         |         |                              |  |
| Ce                             | .          | -۲۲,۶۹  | ۲۴,۴۴                              | ۱۲,۸۵   | ۳۹,۷۶   | ۱۲۶,۷۱                       |  |
| La                             | .          | -۱۰,۱۹  | ۱۳,۴۴                              | ۷,۹۴    | ۲۱,۷۱   | ۷۲,۶۷                        |  |
| Eu                             | .          | -۰,۳۵   | ۰,۰۷                               | ۰,۰۸    | -۰,۱۸   | ۰,۷۹                         |  |
| Nd                             | .          | -۹,۳۳   | ۳,۰۵                               | ۳,۸۴    | ۷,۸۶    | ۳۵,۷۸                        |  |
| Pr                             | .          | -۱,۱۴   | ۳,۱۷                               | ۲,۷۱    | ۶,۶۲    | ۱۲,۲۸                        |  |
| Sm                             | .          | -۱,۱۱   | ۰,۰۴                               | ۱,۰۰    | ۱,۱۶    | ۵,۴۶                         |  |
| HREE (M.C)                     |            |         |                                    |         |         |                              |  |
| Gd                             | .          | -۰,۷۵   | ۱,۲۰                               | ۰,۹۹    | ۰,۰۹    | ۳,۵۰                         |  |
| Dy                             | .          | -۰,۴۵   | ۰,۹۷                               | ۰,۸۶    | -۰,۱۱   | ۱,۶۶                         |  |
| Er                             | .          | -۰,۰۶   | ۰,۶۱                               | ۰,۰۱    | -۰,۱۵   | ۰,۰۸                         |  |
| Ho                             | .          | -۰,۱۱   | ۰,۱۲                               | ۰,۱۳    | -۰,۰۸   | ۰,۲۲                         |  |
| Lu                             | .          | -۰,۰۳۷  | ۰,۰۲                               | ۰,۰۴    | -۰,۰۳   | ۰,۰۷۱                        |  |
| Tb                             | .          | -۰,۱۴   | ۰,۱۱                               | ۰,۰۹    | -۰,۰۰۸  | ۰,۳۱                         |  |
| Yb                             | .          | ۱,۸۴    | -۰,۲۴                              | ۰,۲۵    | -۰,۲۳   | ۰,۴۳                         |  |

همچنین از نمودار  $Zr/TiO_2$  نسبت به  $TiO_2$  [۱۸] استفاده گردید (شکل ۸).

درجه تفکیک عناصر خاکی نادر را می‌توان از نسبت غلظت عناصر خاکی نادر سبک ( $Ce, La$ ) : LREE (Ce, La) به غلظت عناصر خاکی نادر سنگین HREE (Y, Yb) برآورد. برای بررسی جدایش REEها، نسبت  $(La/Yb)N$  و همچنین برای بررسی جدایش LREEها و HREEها به ترتیب نسبت‌های  $(La/Yb)N$  و  $(Gd/Yb)N$  محاسبه شد (جدول ۴). نسبت  $(La/Yb)N$  در نمونه‌های با دگرسانی فیلیک شدید بیشتر از نمونه تقریباً سالم بوده و نشان می‌دهد که غنی‌شدگی HREEها نسبت به LREEها بیشتر از نمونه سالم است. غنی‌شدگی LREEها نیز ممکن است باعث افزایش این نسبت شود. آستانه نسبت  $(La/Sm)N$  در نمونه‌های دگرسان شده بیشتر از نمونه سالم بوده که گویای غنی‌شدگی بیشتر MREEها نسبت به عناصر خاکی نادر متوسط (MREE) است. نسبت  $(Gd/Yb)N$  در نمونه‌های دگرسان شده بیشتر از نمونه سالم بوده که نشانگر غنی‌شدگی MREEها نسبت به HREE است.

به این منظور، یکی از نمونه‌های به نسبت سالم به عنوان سنگ مرتع مقایسه، سه نمونه با دگرسانی فیلیک-پروپیلیتیک و دو نمونه با دگرسانی شدید فیلیک انتخاب گردیدند. عنصر  $Ti$  به عنوان عنصر غیرمتحرک انتخاب شد. در اینجا، تغییرات کمی جرم عناصر با روش عناصر غیر متحرک [۱۵] محاسبه شد، که برپایه‌ی عنصر ناظر بی‌تحرک، عامل غنی‌شدگی EF و ترکیب بازسازی شده RC است:

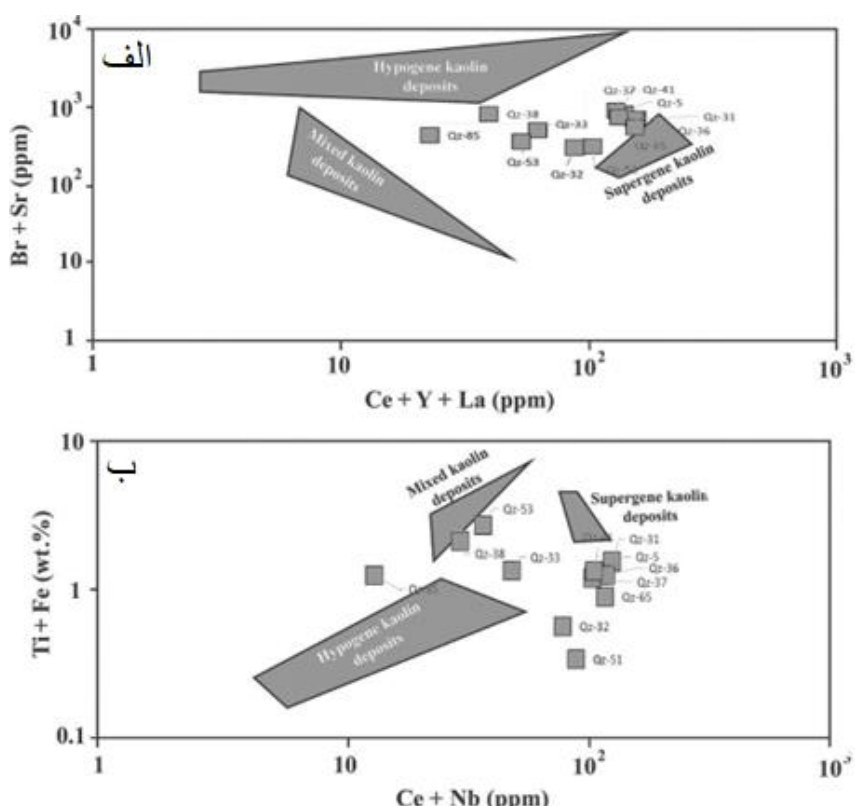
(۲) فراوانی عنصر  $Ti$  در نمونه دگرسان شده / فراوانی عنصر  $Ti$

$$E.F = \frac{\text{فراوانی عنصر غیردگرسان}}{\text{فراوانی عنصر اکسیدی عنصر در نمونه دگرسان}} \times R.C =$$

سرانجام تغییر جرم (MC) از رابطه زیر محاسبه شد:

$$M.C = \frac{\text{فراوانی عنصر در نمونه غیردگرسان}}{(R.C)} \text{ که نتایج به دست آمده در جدول ۳ ارائه شده است.}$$

برای تعیین خاستگاه سیال‌های دگرسان کننده سنگ‌های مقطعه مورد بررسی از نمودارهای  $Ba+Sr$  نسبت به  $Ti+Nb$  و  $Ca+Y+La$  [۱۷]



شکل ۸ موقعیت نمونه‌های مورد بررسی در الف-نمودار  $Ce+Y+La$  نسبت به  $Ba+Sr$ ، ب-نمودار  $Ce+Nb$  نسبت به  $Ti+Fe$  برای تعیین خاستگاه سیال‌های دگرسان کننده [۱۷].

جدول ۴ ناهنجاری Ce و Eu و سایر نسبت‌های عناصر خاکی نادر در پهنه دگرسانی فیلیک شدید و فیلیک-پروپیلیتیک.

| نمونه     | نمونه سالم |      | نمونه‌های با دگرسانی فیلیک-پروپیلیتیک |       | نمونه‌های دگرسانی فیلیک شدید |       |
|-----------|------------|------|---------------------------------------|-------|------------------------------|-------|
|           | Qz f5      | Qz33 | Qz36                                  | Qz37  | Qz51                         | Qz65  |
| Ce        | ۸۱         | ۳۵/۲ | ۹۰/۱                                  | ۷۵    | ۶۴/۱                         | ۹۴/۵  |
| La        | ۴۸         | ۲۲/۴ | ۵۲/۵                                  | ۴۴/۷  | ۳۷                           | ۵۴/۹  |
| Eu        | ۱/۴۳       | ۰/۶۵ | ۱/۲۹                                  | ۱/۲۱  | ۰/۶۶                         | ۱/۰۱  |
| Gd        | ۳/۴۶       | ۱/۶۳ | ۳/۹۹                                  | ۳/۵۶  | ۲/۱۵                         | ۳/۱۷  |
| Sm        | ۴/۶۴       | ۲/۱۳ | ۴/۶۹                                  | ۴/۶۷  | ۳/۰۸                         | ۴/۵۵  |
| Yb        | ۱/۱        | ۱/۷۸ | ۱/۱۵                                  | ۱/۰۸  | ۰/۴۶                         | ۰/۷   |
| Ce/Ce*    | ۱/۰۶       | ۰/۹۵ | ۱/۰۲                                  | ۰/۹۷  | ۱/۰۳                         | ۱/۰۴  |
| Eu/Eu*    | ۱/۰۹       | ۱/۰۶ | ۰/۹۱                                  | ۰/۹   | ۰/۷۸                         | ۰/۸۱  |
| (Gd/Yb)CN | ۲/۶        | ۰/۷۵ | ۲/۸۷                                  | ۲/۷۷  | ۳/۸۶                         | ۳/۷۴  |
| (La/Yb)CN | ۳۱/۳       | ۹/۰۲ | ۳۲/۷۴                                 | ۲۹/۶۸ | ۵۷/۶۹                        | ۵۶/۲۵ |
| (La/Sm)CN | ۶/۶۷       | ۶/۷۸ | ۷/۲۲                                  | ۶/۱۷  | ۷/۷۵                         | ۷/۷۸  |

Sr در سنگ‌های آذرین بیشتر در پلازیوکلاز و فلدسپارپیتاسیم حضور دارد و تهی شدگی این عنصر در پهنه‌های دگرسانی مورد بررسی به احتمال بسیار بدلیل تخریب کانی‌های نام برده در سامانه واکنشی آب-سنگ صورت گرفته است. غنی شدگی عنصر Pb نشان می‌دهد که این عنصر توسط محلول‌های دگرسان کننده درونزاد به سامانه اضافه شده است. غنی شدگی عنصر Rb براساس ویژگی‌های زمین‌شیمیایی آن قابل تفسیر است، زیرا در سیال گرمابی انباسته شده و همراه با هجوم سیال به مناطق پیرامون در پهنه‌های دگرسانی مستقر می‌شود. از سویی، غنی شدگی این عنصر ممکن است در ارتباط با تشکیل سریسیت نیز باشد. غنی شدگی عناصر U و Th به احتمال بسیار ناشی از شرایط اسیدی و جذب سطحی توسط کانی‌های رسی و نیز به دلیل حضور در شبکه کانی زیرکن است [۲۱، ۲۰].

#### عناصر با شدت میدان بالا (HFSE)

عناصر با شدت میدان بالا شامل Y, P, Nb, Ta, Hf, Zr هستند (شکل ۱۰). افزایش جرم Zr در نمونه‌های به شدت فیلیک می‌تواند دلیلی بر حضور این عنصر در شبکه کانی‌های مقاوم چون زیرکن و یا غنی شدگی در ازای این عنصر به دلیل کاهش حجم سامانه باشد. افزایش جرم Nb نیز مانند زیرکن می‌تواند بیانگر حضور این عناصر در شبکه کانی‌های مقاومی چون زیرکن باشد. از عوامل افزایش Ta می‌توان به بی‌تحرکی آن و کاهش حجم سامانه به همراه عملکرد ضعیف محلول‌های دگرسان کننده در شستشوی این عنصر اشاره کرد. کاهش جرم عنصر Hf نشان می‌دهد که محلول‌های مسؤول دگرسانی ماهیت اسیدی داشته‌اند.

برای بررسی رفتار این عناصر طی دگرسانی، نسبت‌های Ce/Ce\* و Eu/Eu\* با استفاده از روابط زیر محاسبه شدن.

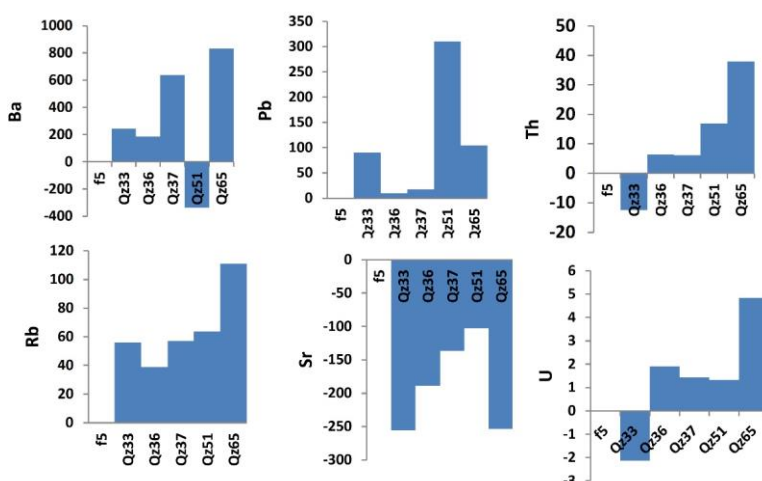
$$\text{Eu/Eu}^* = \text{Eun}/[((\text{Sm})n^*(\text{Gd})n)1/2]$$

$$\text{Ce/Ce}^* = \text{Cen}/[(\text{La})n^*(\text{Pr})n)1/2]$$

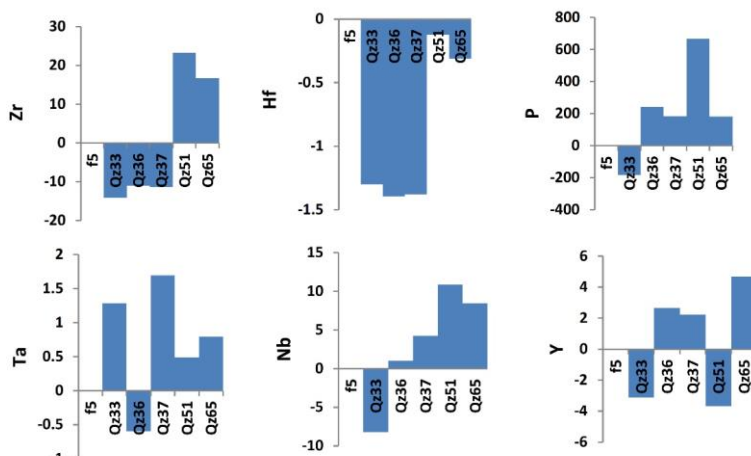
براساس محاسبات انجام شده، آستانه نسبت Eu/Eu\* در نمونه‌ای دگرسان شده کمتر از نمونه سالم است (جدول ۴) که بیانگر شستشوی شدید کلسیم پلازیوکلازها طی دگرسانی فیلیک است. با توجه به جانشینی بوروپیوم دو ظرفیتی در شبکه پلازیوکلاز، بنظر می‌رسد که همزمان با شستشوی شدید کلسیم، بوروپیوم نیز متحرک شده و در شرایط دگرسانی فیلیک شدید از سامانه خارج شده است. نسبت Ce/Ce\* برای نمونه سالم و بیشتر نمونه‌های دگرسان شده تقریباً یکسان است.

#### عناصر سنگ دوست درشت یون (LILE)

عناصر سنگ دوست درشت یون شامل U, Th, Sr, Rb, K, Ca, Ba, و Pb در نمونه‌های دگرسان شده نسبت به نمونه به نسبت سالم غنی شدگی و تهی شدگی نشان می‌دهند (شکل ۹). غنی شدگی Ba را می‌توان به حضور این عنصر در رگه‌های کانی سازی شده که توسط محلول‌های دگرسان کننده بوجود آمده‌اند نسبت داد [۲۱-۱۹]. سرانجام طی تشکیل پهنه دگرسان-کننده، Ba به دلیل حضور در رگه‌های کانی سازی شده به احتمال بسیار توسط محلول‌های دگرسان کننده وارد این پهنه دگرسانی شده و غنی شدگی نشان می‌دهد. عنصر Sr یک عنصر ناسازگار است و در شرایط ماقمایی می‌تواند جانشین K و Ca شود. این عنصر در کانی‌های سیلیکاتی کلسیم‌دار بصورت پذیرفته شده و در کانی‌های پتاسیم‌دار بصورت اسیر شده جایگزیری می‌کند [۱]. یافته‌های موجود نشان می‌دهد که عنصر



شکل ۹ تغییرات جرم عناصر سنگ دوست درشت یون در نمونه‌های مورد بررسی در پهنه دگرسانی فیلیک شدید و فیلیک-پروپیلیتیک که نمونه F5 به نسبت سالم و Q33, 36, 37, 51, 65 دگرسان شده هستند.

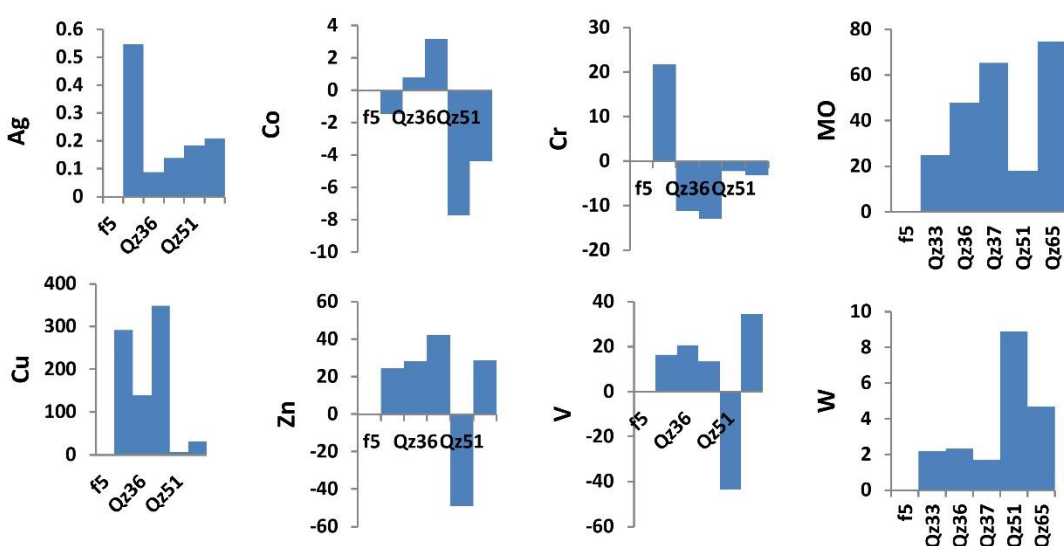


شکل ۱۰ تغییرات جرم عناصری با شدت میدان بالا در نمونه‌های مورد بررسی در پهنه دگرسانی فیلیک شدید و فیلیک-پروپیلیتیک که نمونه F5 به نسبت سالم و Q33, 36, 37, 51, 65 دگرسان شده هستند.

است. تهی شدگی عنصر Co در نمونه‌های با دگرسانی فیلیک شدید گویای شکسته شدن کانی‌های فرو منیزین است. افزایش جرم عنصر V می‌تواند دلیلی بر ورود آن توسط محلول‌های دگرسان‌کننده به سامانه باشد. کاهش جرم عنصر Cr در پهنه بیانگر pH ضعیف محلول‌های گرمابی است که توانایی اتحال کمی در مقایسه با محلول‌های گرمابی با ماهیت اسیدی بالا دارند. افزایش جرم عنصر Ag می‌تواند دلیلی بر ورود این عنصر توسط محلول‌های دگرسان‌کننده به سامانه باشد. غنی شدگی Zn نشان می‌دهد که این عنصر توسط محلول‌های دگرسان‌کننده درونزad به سامانه اضافه شده است. غنی شدگی W نیز نشان می‌دهد که این عنصر توسط محلول‌های دگرسان‌کننده درونزad به سامانه اضافه شده است.

#### عناصر جزئی عبوری (TRTE)

عناصر جزئی عبوری شامل عناصر Mo, Cr, V, Co, Ni, Sc, Zn, Cu, W, Cu, Hf, P, S, Y هستند (شکل ۱۱). نسبت به نمونه سالم غنی شدگی نشان می‌دهد، اما نکته مهم این است که در مقایسه با پهنه پتاسیمی، در نوع خود با کاهش مواجه بوده است، زیرا این پهنه در شرایط فیزیکوشیمیابی متفاوت از پهنه پتاسیمی، شکل گرفته و بر آن همپوشی کرده و سیال کانه‌دار بیشتر کانی‌های سولفیدی مس را در پهنه پتاسیمی برجای گذاشته است. مس در این پهنه بصورت کانی‌های سولفیدی چون کالکوپیریت در رگه و رگچه‌ها حضور دارد. در واقع، غنی شدگی عنصر مس در کنار عنصر S بیانگر ورود محلول‌های درونزad به سامانه و تشکیل کانه فلزی بصورت فازهای سولفوری مس



شکل ۱۱ تغییرات جرم عناصر جزئی عبوری در نمونه‌های مورد بررسی در پهنه دگرسانی فیلیک شدید و فیلیک-پروپیلیتیک که نمونه F5 به نسبت سالم و ۳۶, ۵۱, ۶۵. Q33, 36, 37, 51 دگرسان شده هستند.

دگرسانی فیلیک شدید در اثر دگرسانی شدید و تخریب فلدسپارها توسط محلول‌های دگرسان‌کننده از سامانه خارج شده است. افزایش عنصر K بدلیل تشکیل سریسیت است و همبستگی منفی آن می‌تواند ناشی از دگرسانی نمونه‌های سطحی و خروج K از سامانه باشد. غنی‌شدن عنصر P در این پهنه به احتمال بسیار ناشی از تخریب کانی‌های آپاتیت سنگ مادر گرانودیوریتی و تمرکز دوباره آنها به صورت کانی‌های ثانویه فسافتدار است. عناصر سنگ دوست درشت یون Pb, U, Th, Rb, K, Ba در نمونه‌های دگرسان شده غنی‌شدنگی و عنصر Sr تهی‌شدنگی نشان می‌دهند. غنی‌شدنگی Ba را می‌توان به حضور این عنصر در رگه‌های کانی‌سازی شده که توسط محلول‌های دگرسان‌کننده بوجود آمده‌اند نسبت داد. غنی‌شدنگی Rb بر اساس ویژگی‌های زمین‌شیمیایی آن قابل تفسیر است زیرا در سیال گرمابی انباسته شده و همراه با هجوم سیال به مناطق پیرامون در پهنه‌های دگرسانی مستقر می‌شود. از سویی، غنی‌شدنگی این عنصر ممکن است در ارتباط با تشکیل سریسیت نیز باشد.

#### قدرتانی

نویسنده‌گان این مقاله از معاونت محترم پژوهش و فناوری دانشگاه تبریز بخاطر در اختیار گذاشتن امکانات مالی پژوهش و نیز از داوران محترم و مسئولین گرامی مجله بلور شناسی و کانی‌شناسی ایران جهت هرچه پربارتر شدن مقاله، کمال تشکر و قدردانی را دارند.

برداشت واحدهای منطقه قیزیلیق شامل توده نفوذی کوارتزمنزنونیت پورفیری، توده گرانودیوریت پورفیری، دایک‌های برآمده از توده گرانودیوریت پورفیری و بازالت‌ها هستند. کانی‌های تشکیل‌دهنده این سنگ‌ها بیشتر شامل پلازیوکلاز، کوارتز، فلدسپار پتاسیم، پیروکسن و کانی‌های ثانویه شامل سریسیت، کلریت، کائولینیت، اکسیدهای آهن هستند و همچنین بافت آنها پورفیریک، گلومروپورفیری و خال خال است. مهمترین فرایند پس از جایگیری توده‌های نفوذی در منطقه، فعالیت سامانه گرمایی و در پی آن دگرسانی و کانی‌سازی در توده پورفیری و سنگ‌های پیرامون آن است. مهمترین دگرسانی‌های موجود در منطقه منطبق بر سه پهنه فیلیک، آرژیلیک و پروپیلیتی هستند. کانی‌های سولفیدی دیده شده در منطقه بیشتر پیریت، کالکوپیریت، اسفالریت و مولیبدنیت هستند. کاهش Mg در طی تشکیل پهنه دگرسانی فیلیک شدید نشان دهنده تشکیل فازهای کانی‌ای آبدار و خروج Mg به محلول‌های دگرسان‌کننده است. کاهش Mn در نمونه‌های با دگرسانی فیلیک شدید به دلیل تخریب کانی‌های فرومیزین در سامانه‌های واکنشی سنگ-آب و آزادشدن Mn به محلول‌های دگرسان‌کننده رخ داده اما افزایش آن در نمونه‌های فیلیک-پروپیلیتیک نشان دهنده ورود این عنصر توسط محلول‌های درونزد مسؤول دگرسانی به سامانه و تثبیت آن در کانی‌های ثانویه چون کلریت است. طی تشکیل پهنه

## مراجع

- [11] Nesbitt H.W., Young G.M., "Prediction of Some Weathering Trends of Plutonic and Volcanic Rocks Based on Thermodynamic and Kinetic Considerations" *Geochim. Cosmochim. Acta* (1984), 48, 1523–1534.
- [12] Karakaya Necati, "REE and HFS element behaviour in the alteration facies of the Erenler Dağı Volcanics (Konya, Turkey) and kaolinite occurrence." *Journal of Geochemical Exploration* 101.2 (2009): 185-208.
- [13] Grant J.A., "The Isocon Diagram; a Simple Solution to Gresens' Equation for Metasomatic Alteration" *Econ. Geol.* (1986), 81, 1976–1982.
- [14] Gresens R.L., "Composition-Volume Relationships of Metasomatism". *Chem. Geol.* (1967), 2, 47–65.
- [15] MacLean W.H., "Mass Change Calculations in Altered Rock Series" *Miner. Depos.* (1990), 25, 44–49.
- [16] Nesbitt H.W., Markovics G., "Weathering of Granodioritic Crust, Long-Term Storage of Elements in Weathering Profiles, and Petrogenesis of Siliciclastic Sediments" *Geochim. Cosmochim. Acta* (1997), 61, 1653–1670.
- [17] Dill H.G., Bosse H.-R., Henning K.-H., Fricke A., Ahrendt H., "Mineralogical and Chemical Variations in Hypogene and Supergene Kaolin Deposits in a Mobile Fold Belt the Central Andes of Northwestern Peru" *Miner. Depos.* (1997), 32, 149–163.
- [18] Maiza P. J., Pieroni D., Marfil S. A., "Geochemistry of hydrothermal kaolins in the SE area of Los Menucos, Province of Rio Negro, Argentina." 2001. *A Clay Odyssey* 1 (2003): 123.
- [19] Barnett M.O., Jardine P.M., Brooks S.C., Selim H.M., "Adsorption and Transport of Uranium (VI) in Subsurface Media" *Soil Sci. Soc. Am. J.* (2000), 64, 908–917.
- [20] Turner G.D., Zaehara J.M., McKinley J.P., Smith S.C., "Surface-Charge Properties and Reaction on Metabauxites: An Example from Naxos" *J. Struct. Geol.* (1996).
- [21] Hudson E.A., Terminello L.J., Viani B.E., Denecke M., Reich T., Allen P.G., Bucher J.J., Shuh D.K., Edelstein N.M., "The Structure of U<sup>6+</sup> Sorption Complexes on Vermiculite and Hydrotalcite" *Clays Clay Miner.* (1999), 47, 439–457.
- [1] Brian M., Carleton B.M., "Principles of Geochemistry" (1982).
- [2] Hedenquist J.W., Arribas A., Gonzalez-Urien E., "Exploration for Epithermal Gold Deposits". (2000).
- [3] Alavi M., "Tectonostratigraphic Synthesis and Structural Style of the Alborz Mountain System in Northern Iran" *J. Geodyn.* 1996, 21, 1–33, doi:10.1016/0264-3707(95)00009-7.
- [4] Iranian A., "1: 25000 scale Geological map of Qizilqiz area", Iranian mine Company, (2015). 1 Sheet.
- [5] Moayyed M., Azimzadeh A.M., Azamirad H., Taghizadeh M., Esmaeili A.R., Marangi H., "Introduction of Qizilqiz Cu-Mo porphyry prospect in Sarab NW Iran based on petrography, alteration, mineralization, and fluid inclusion studies (In Persian)", Second Bieennial Iranian National Fluid Inclusion conference, University of Zanjan, (2017), 179- 187.
- [6] Hosseinzadeh Gh, Calagari A. A., Moayyed M., Hadj-Alilu B., Moazzen M., "Study of Hypogen Alteration and Copper Mineralization in Sonajil Area (East of Herris, East Azarbaijan) (In Persian)." *Scientific Quarterly Journal of Geosciences* 19, no. 74 (2010): 3-12.
- [7] Hosseinzadeh M. R., Maghfouri S., Ghorbani M., Moayyed M., "Different types of vein-veinlets related to mineralization and fluid inclusion studies in the Sonajil porphyry Cu-Mo deposit, Arasbaran magmatic zone (In Persian)" *Scientific Quarterly Journal of Geosciences* 26, no. 101 (2016): 219-230.
- [8] Hosseinzadeh G. H. A. D. E. R., Moayyed M., Calagari A. A., Hajjalilu B., "Studies of petrography and petrogenesis of Incheh intrusive body, east of Heris, East-Azarbaijan (In Persian)" *ijcmir* Vol. 16 Issue 2 (2008), 189-206.
- [9] Fathi R., "Geochemistry of Alteration zones in Qizilqiz area in north of Sarab(NW Iran) (In Persian)", Msc., Thessis, Tabriz University, (2018), 285p.
- [10] Hezarkhani A., "Mass Changes during Hydrothermal Alteration/Mineralization at the Sar-Cheshmeh Porphyry Copper Deposit, Southeastern Iran". *Int. Geol. Rev.* (2006), 48, 841–860.